

**Сәulet, қала құрылышы және құрылыш саласындағы
мемлекеттік нормативтер
ҚАЗАҚСТАН РЕСПУБЛИКАСЫНЫҢ ЕРЕЖЕЛЕР ЖИНАҒЫ**

**Государственные нормативы в области
архитектуры, градостроительства и строительства
СВОД ПРАВИЛ РЕСПУБЛИКИ КАЗАХСТАН**

**АЗАМАТТЫҚ ҚОРҒАНЫСТЫҢ ЖЕРАСТЫ
ТАУЛЫ ӨНДЕМЕЛЕРДЕГІ ҚОРҒАНЫС
ИМАРАТТАРЫ**

**ЗАЩИТНЫЕ СООРУЖЕНИЯ ГРАЖДАНСКОЙ ОБОРОНЫ В
ПОДЗЕМНЫХ ГОРНЫХ ВЫРАБОТКАХ**

**ҚР ЕЖ 2.03-104-2012
СП РК 2.03-104-2012**

**Ресми басылым
Издание официальное**

**Қазақстан Республикасы Ұлттық экономика министрлігінің
Құрылыш, тұрғын үй-коммуналдық шаруашылық істері және жер
ресурстарын басқару комитеті**

**Комитет по делам строительства, жилищно-коммунального хозяйства
и управления земельными ресурсами Министерства национальной
экономики Республики Казахстан**

Астана 2015

АЛҒЫ СӨЗ

- 1 ӘЗІРЛЕГЕН:** «ҚазҚСФЗИ» АҚ, «ЗЦ АТСЭ» ЖШС
- 2 ҰСЫНҒАН:** Қазақстан Республикасы Ұлттық экономика министрлігінің Құрылыш және тұрғын үй-коммуналдық шаруашылық істері және жер ресурстарын басқару комитетінің Техникалық реттеу және нормалау басқармасы
- 3 БЕКІТІЛГЕН ЖӘНЕ ҚОЛДАНЫСҚА ЕҢГІЗІЛГЕН:** Қазақстан Республикасы Ұлттық экономика министрлігі Құрылыш, тұрғын үй-коммуналдық шаруашылық істері және жер ресурстарын басқару комитетінің 2014 жылғы 29-желтоқсандағы № 156-НҚ бұйрығымен 2015 жылғы 1-шілдеден бастап

ПРЕДИСЛОВИЕ

- 1 РАЗРАБОТАН:** АО «КазНИИСА», ТОО «ЗЦ АТСЭ»
- 2 ПРЕДСТАВЛЕН:** Управлением технического регулирования и нормирования Комитета по делам строительства, жилищно-коммунального хозяйства и управления земельными ресурсами Министерства национальной экономики Республики Казахстан
- 3 УТВЕРЖДЕН И ВВЕДЕН В ДЕЙСТВИЕ:** Приказом Комитета по делам строительства, жилищно-коммунального хозяйства и управления земельными ресурсами Министерства национальной экономики Республики Казахстан от «29» декабря 2014 года № 156-НҚ с 1 июля 2015 года

Осы мемлекеттік нормативті Қазақстан Республикасының сәулет, қала Құрылышы және құрылыш істері жөніндегі уәкілетті мемлекеттік органының рұқсатының ресми басылым ретінде толық немесе ішінара қайта басуға, көбейтуге және таратуға болмайды

Настоящий государственный норматив не может быть полностью или частично воспроизведен, тиражирован и распространен в качестве официального издания без разрешения уполномоченного государственного органа по делам архитектуры, градостроительства и строительства Республики Казахстан

МАЗМҰНЫ

КІРІСПЕ

1	ҚОЛДАНУ САЛАСЫ.....	1
2	НОРМАТИВТІК СІЛТЕМЕЛЕР.....	1
3	ТЕРМИНДЕР ЖӘНЕ АНЫҚТАМАЛАР.....	2
4	ЖЕР АСТЫ ТАУКЕН ӨНДІРУЛЕРІНДЕГІ АЗАМАТТЫҚ ҚОРҒАНЫСТЫҢ ФИМАРАТТАРЫН ЖОБАЛАУ ҮШИН ТИІМДІ ҚҰРЫЛЫС ШЕШІМДЕРІ.....	2
4.1	Азаматтық қорғаныс нысандары ғимараттарының және қорғалған кірістерінің көлемді-жоспарлы шешімдері.....	2
4.2	Негізгі есептік ережелер.....	3
4.3	Жылыстаудың соққы толқынынан түсетін жұтемелер.....	4
4.4	Өндірулердің қорғаныс құрастырылымдарын және құрастырылымдық элементтерін есептеу әдістері.....	6
5	ИНЖЕНЕРЛІК-ТЕХНИКАЛЫҚ ҚҰРАЛ-ЖАБДЫҚ.....	18
6	ӨРТКЕ ҚАРСЫ ІС ШАРАЛАРЫ.....	23
A	Қосымшасы (<i>ақпараттық</i>) Қзат коэффициенттерінің болуыжәне котрасоқпақ қысымның көрінуі.....	24
B	ҚОСЫМШАСЫ (<i>ақпараттық</i>) Қазбалар жиегінің жылжымалы қысымда және коэффициенттер жиынтығының әртүрлі бейнедегі.....	27
V	ҚОСЫМШАСЫ (<i>ақпараттық</i>) Созылудың кедергі түрінің есептік мағынасы және қысымның созылышқы есебінің тәуелділік кесіндісі.....	28
Г	ҚОСЫМШАСЫ (<i>ақпараттық</i>) Кентіректер аралық камерасының және ұнтақтау камерасының қабілетін әкелетін коэффициенттер мағынасы.....	29
	БИБЛИОГРАФИЯ.....	30

КІРІСПЕ

Осы ережелер жинағы ғимараттар мен құрылыштардың қауіпсіздігін қамтамасыз ету бойынша құрылым саласындағы техникалық нормалау жүйесінде Қазақстан Республикасының аумағында қолданылатын нормативті қөлкүжат болып табылады және «Жер асты тау-кен қазабаларындағы азаматтық қорғаныстың қорғану ғимараттары» ҚР ҚН 2.03-06 құрылым саласындағы нормалары мен «Имараттар мен ғимараттар, құрылым саласындағы азаматтық қорғаныстың қорғану ғимараттары» Қазақстан Республикасы техникалық регламентінің талаптарын дамытуға әзірленген.

ҚАЗАҚСТАН РЕСПУБЛИКАСЫНЫҢ ЕРЕЖЕЛЕР ЖИНАҒЫ**СВОД ПРАВИЛ РЕСПУБЛИКИ КАЗАХСТАН****АЗАМАТТЫҚ ҚОРҒАНЫСТЫҚ ЖЕРАСТЫ ТАУЛЫ ӨНДЕМЕЛЕРДЕГІ
ҚОРҒАНЫС ИМАРАТТАРЫ****ЗАЩИТНЫЕ СООРУЖЕНИЯ ГРАЖДАНСКОЙ ОБОРОНЫ В ПОДЗЕМНЫХ
ГОРНЫХ ВЫРАБОТКАХ**

Енгізілу күні – 2015-07-01

1 ҚОЛДАНУ САЛАСЫ

1.1 Ережелердің бұл жинағы жер асты тауken өндірулеріндегі орналастырылатын азаматтық қорғаныстың қорғаныс ғимараттарын (паналар және радиацияға қарсы тасалар) құрылышын жобалауға, реконструкцияға, техникалық жабдықталуға жарамды және келесілердің орын алу себептеріне қарамастан бейбіт және соғыс уақытында туындастын төтенше жағдайлардан азаматтардың өмірін, денсаулықтарын қорғауға бағытталған.

1.2 Ережелер жинағы жер асты тауken өндірулерінде орналаспайтын азаматтық қорғаныстың қорғаныс ғимараттарын жобалауға жарамайды.

2 НОРМАТИВТІК СІЛТЕМЕЛЕР

Осы ережелер жинағын (бұдан әрі мәтін бойынша ЕЖ) келесі сілтеме нормативтік құжаттар қажет:

Қазақстан Республикасы Үкіметінің 2009 жылдың 25 желтоқсанындағы №2207 қаулысымен бекітілген, «Жерасты тәсілімен кен, кен емес және төгілмелі кен орындарын өңдеу үрдістерінің қауіпсіздігіне қойылатын талаптар» Техникалық регламенті.

Қазақстан Республикасы Үкіметінің 2010 жылдың 17 қарашасындағы №1202 қаулысымен бекітілген «Ғимараттар мен құрылыштар, құрылыш материалдары мен бұйымдардың қауіпсіздігіне қойылатын талаптар» техникалық регламенті.

ҚР ҚН 2.03-06-2012 Азаматтық қорғаныстың жерасты таулы өндемелердегі қорғаныс имараттары.

ҚР ҚНжЕ 2.04-09-2002 Азаматтық қорғаныстың қорғаныс ғимараттары.

ЕСКЕРТПЕ: Атальыш құрылыш нормаларын қолдану кезінде Қазақстан Республикасы Аумағында сілтеме нормативтік құжаттардың әрекетерін тексерген жөн, оның ішінде нормативтік құқықтық актілер көрі, Қазақстан Республикасы стандарттау жөніндегі нормативтік құжаттар Нұсқағыштары және ағымдағы жылдағы 01 қантардағы жағдайы бойынша жыл сайы шығарылатын және ағымдағы жылды жарияланған сәйкес акпараттық нұсқағыштар бойынша стандарттау жөніндегі мемлекетаралық нормативтік құжаттардың әрекеттерін тексерген жөн. Егер сілтеме жасалынған құжат ауыстырылған (өзгертілген) болса, онда бұл нормаларды қолдану кезінде ауыстырылған (өзгертілген) стандартты басшылыққа алған жөн. Егер сілтеме жасалынған құжат ауыстырылмастан күшін жойған болса, онда сілтеме жасалынған ереже осы сілтемені қозғамайтын бөлігіне қатысты қолданылады.

Ресми басылым

3 ТЕРМИНДЕР ЖӘНЕ АНЫҚТАМАЛАР

Ережелердің осы жинағында ҚР ҚН 2.03-06 келтірілген сәйкес анықтамалары бар терминдер қолданылған.

4 ЖЕР АСТЫ ТАУКЕН ӨНДІРУЛЕРІНДЕГІ АЗАМАТТЫҚ ҚОРҒАНЫСТЫҢ ҒИМАРАТТАРЫН ЖОБАЛАУ ҮШІН ТИІМДІ ҚҰРЫЛЫС ШЕШІМДЕРІ

4.1 Азаматтық қорғаныс нысандары ғимараттарының және қорғалған кірістерінің көлемді-жоспарлы шешімдері

4.1.1 Жер асты тауken өндірулеріндегі қорғаныс құрылыштарының көлемді-жоспарлау шешімдері бойынша негізгі талаптар ҚР ҚН 2.03-06 кептірілген.

Қорғаныс ғимараттарын жобалау кезінде адамдарды, ауыз судың артық қорын сақтауға арналған сұйықтықтарды орналастыруға, азық-түлік қоймаларын, санитарлық тораптар қондырғыларын, медициналық пункттер (санитарлық посттар) арналған жеткілікті аумақты қаастыруға мүмкіндік беретін тиімді көлемді-жоспарлы жобалық шешімдерді қаастыру қажет. Басқару пунктін, желдету қондырғысын және электр қамсыздандырудың автономды қайнарын орналастыруға арналған аудандар қаастырылады.

4.1.2 Қорғаныс ғимараттарында 11 жасқа дейінгі балалардың, емшектегі баласы бар және жүкті әйелдердің және қарт адамдардың жатуына арналған орындармен 100% қамсыздандыру қаастырылады. Өзге тасаланушылар үшін орындардың 75 % отыру үшін және 25 % - жату үшін арналған.

4.1.3 Өндірулерді келесілермен жабдықтау қажет: 7-ден 15°-ке дейінгі ылдилық бұрыштарында – таяныштармен, 15-тен аса және 30°-ға дейін — баспалдақтары және таяныштары бар басқыштармен, 30-тан жоғары 45°-ке дейін баспалдақ бөлімшелерімен.

4.1.4 Санитарлық тораптар 75 адамға бір үпай есебінен ерлер мен әйелдер үшін және 200 адамға, алайда санитарлық торапқа біреуден кем емес бір қолжуғыш есебінен ерлер мен әйелдер үшін жеке жобаланады.

4.1.5 Қорғаныс ғимараттарында әрбір 500 тасаланушыға, алайда қорғаныс ғимаратына біреуден кем емес ауданы 2 м²бір санитарлық пост есебінен санитарлық посттарды қаастыру қажет.

Тасаланушылардың саны 1000 адамнан асқан жағдайда қорғаныс ғимаратында санитарлық посттардан өзге 25 м² жалпы ауданды оқшаулағышы бар медициналық пункт қаастырылады.

4.1.6 Жер асты қорғаныс ғимаратында нысанды басқару пункті жұмыс бөлмесінің және байланыс бөлмесінің жалпы ауданын талап етілетін нормативтен 30 м² дейін ұлғайтуға рұқсат етіледі.

4.1.7 Қажеттілігіне қарай желдету қондырғысын орнату үшін өндірулерді немесе арнайы ғимараттарды, ережеге сай, тұйыққа тірелген өндірулер (камералар) кеңейтілуін қаастыруға рұқсат етіледі.

4.1.8 Сәйкес негізdemесі болған жағдайда тасалардың үстінгі беттеріне орнатылатын электр қамсыздандырудың автономды қайнарларын қолдануға рұқсат етіледі.

4.1.9 Тасаланушылардың жинағышы паналау орнына босату үшін қолданылатын ұзындығы 2-3 м және қимасы 1,2x2 м қолданылатын галерея тірегімен жалғасуы тиіс.

Жалғастырылған галереяны қоса алғанда жинақтағыштың ауданын адамға $0,15 \text{ m}^2$ нормасы бойынша тасаланған жұмыс істейтін ауысымды қысқа уақытқа орналастыру есебінен қабылдау қажет.

4.1.10 Панаға кіру жолдары және апatty шығу жолдары тасаланған адамдарды орналастыруға рұқсат етілетін, саны бойынша анықталатын пана қуаттылығына тәуелді орнатылады.

Жинақтағышқа кіру жолы тамбур-шлюзбен жабдықталады. Тамбур-шлюздың ауданы және ондағы есіктер енін азаматтық қорғаныс паналарының тамбур-шлюздарына қойылатын талаптарға [1] сәйкес қолданылады.

4.1.11 Паналаушыларды ішке кіргізу үшін үлкен емес қылышсызы бар (7 m^2 дейін) технологиялық бағандар немесе диаметрі 1,2 м кем емес арнайы бұрғыланған шурфтар қолданылуы мүмкін.

4.2 Негізгі есептік ережелер

4.2.1 Паналау орнына бейімделген тауken өндірулеріндегі конструктивті шешімдер, жердің үстінгі бетіне апatty шығу жолдары тауken қысымынан статистикалық жүктемелер және сейсмикалық жарылыш толқындарының ауытқуларынан жүктеулердің үйлесімділігін ескере отырып жүктемеге есептелуі тиіс.

Корғаныс құрастырылымдарын (жалғастырғыштар, есіктер, терезе қақпақтары, кеңейткіш камералар) жылыштаудың соғу толқыны әсерінен түсетін жүктемеге есептелуі тиіс.

Осыған қоса, жалғастырғыштар, тауken жыныстарының қысымынан түсетін жүктемелерге есептелуі тиіс.

4.2.2 Корғаныс құрастырылымдарының есебі бірінші топтың шектеулі жай-күйі бойынша жүзеге асырылуы тиіс.

Корғаныс жалғастырғыштарының құрастырылымдарын серпінді пластикалық түр өзгертулер; қорғаныс-саңылаусыз және саңылаусыз жалғастырғыштар және есіктер, сонымен бірге терезе қақпақтары және кеңейткіш камераларды ескере отырып, есептеу, серпінді кезеңінде есептеу қажет.

Эквивалентті статистикалық жүктемелерге жүктелу коэффициентін бірлікке тең, ал қалған жүктемелерге – талаптарға [3] сәйкес қабылдау қажет.

4.2.3 Корғаныс құрастырылымы элементтеріндегі ішкі күштеулер (иілімді сэттер, көлденен және бойлық күштер) құрылыш механикасы әдістері бойынша анықтау қажет.

4.2.4 Корғаныс ғимараттары ретінде бейімделген бекітілмеген өндірулердің тұрақтылығын есептеу кезінде бірінші топтың шектеулі жай-күйі бойынша орындау қажет.

Бекітілмеген өндірулерде келесі құрастырылымдық элементтер тұрақтылыққа есептелуі тиіс:

- созылған өндірулер контурындағы жыныстар;
- камералық өндірулердегі төбелер;

- камера аралық кентіректер.

Бірінші кезеңдегі паналардағы бекітілген өндірулерді бекітілмегендер ретінде есептеу қажет. Бұл өндірулер контурындағы жыныстар тұрақсыз болып табылатын жағдайларда жыныстардың құлау әрекетінен түсетін жүктемелерге тірегіш беріктігінің есептері жүргізіледі. Жыныспен (бетондалған) тығыз байланысты бекіткіштерді сейсмикалық жарылыс толқындары есерінен түсетін жүктемелерге есептеу қажет.

Радиацияға қарсы паналау орындарында монолиттер, жиектеме және анкерлік бекіткіштермен бекітілген өндірулердің тұрақтылығы оларды тексеру, және бекіткіштердің сақталуын тексеру арқылы бекітілуі тиіс.

4.2.5 Статистикалық жүктемелер және тауken қысымынан бекіткіштегі құштеулерді талаптарға сәйкес [3] анықтау қажет. Сейсмикалық жарылыс әрекеттерінен бекіткіштегі ішкі құштеулерді анықтау әдістемесі 4.3.5 бөлімшесінде келтірілген.

4.2.6 Қорғаныс құрастырылымдарын және бекіткіштерін есептеу кезінде материалдардың есептік динамикалық қарсыласуын талаптарға сәйкес [2] қабылдау қажет.

4.3 Жылыстаудың соққы толқынынан түсетін жүктемелер

4.3.1 Өндірулерде үстіңгі беттен жылыстайтын, соққы толқынының фронтындағы, сонымен бірге өндірулердің жергілікті қарсыласулары артындағы (бұрылыс, қылышу, кеңейтілу немесе тарылу, қылышуды ішінана қондырғымен толтырылуы және т.б.) қысымды $\Delta P_{зат}$, МПа ($\text{кгс}/\text{см}^2$), келесі формула бойынша анықтау қажет:

$$\Delta P_{зат} = K_{зат} \Delta P_{пр} \quad (1)$$

мұнда $K_{зат}$ — А қосымшасы бойынша қабылданатын жылыстау коэффициенті;

$\Delta P_{пр}$ — жергілікті қарсыласу алдындағы өткінші соққы толқыны фронтындағы қысым, МПа ($\text{кгс}/\text{см}^2$).

4.3.2 x ұзындығы 10d тең немесе артық және диаметрі 8m тең немесе кем түсетін, өндірулердің тік сызықтық аумағы соңындағы соққы толқыны фронтындағы қысым, $\Delta P_{пр(x)}$ МПа ($\text{кгс}/\text{см}^2$), келесі формула бойынша анықталады:

$$\Delta P_{пр(x)} = \Delta P_{зат} \varPhi_x^{-1} e^{-K_{зат} \frac{x}{Rr}} \quad (2)$$

мұнда \varPhi_x — соққы толқынының бір өлшемді кеңейтілуін ескеретін коэффициент;

e — шынайы логарифмдер негізі;

$K_{зат}$ — кесте 1 бойынша қабылданатын сөну коэффициенті;

x — өндірулер аумағының ұзындығы, м;

Rr — өндірулер периметріне көлденең қылышу ауданының қатынасына тең, өндірулердің гидравликалық радиусы, м;

d — өндірулер периметріне көлденең қылышуының төрт еселенген ауданы қатынасына тең, өндірулердің эквивалентті диаметрі, м.

Кесте 1- Сөну коэффициенті

Өндірулердің аэродинамикалық қарсыласу коэффициенті δ да Па $s^2 m^2$ ($kg \cdot s^2/m^4$)	K_3
$1 \cdot 10^{-4}$ бастап $4 \cdot 10^{-4}$ дейін	0,0005
$4 \cdot 10^{-4}$ аса $8 \cdot 10^{-4}$ дейін	0,001
$8 \cdot 10^{-4}$ аса $20 \cdot 10^{-4}$ дейін	0,002
$20 \cdot 10^{-4}$ аса $35 \cdot 10^{-4}$ дейін	0,003
$35 \cdot 10^{-4}$ аса $50 \cdot 10^{-4}$ дейін	0,004

4.3.3 Бөгеуге (жалғастырғышқа) түсетін динамикалық жүктемені тең деп есептеу қажет:

бөгеулердің орналасуы жағдайында өткінші соққы толқынының фронтындағы қысым соққы толқынының таралу бағытына параллельді;

бөгеулердің орналасуы жағдайында соққы толқынының көрсетілу қысымына соққы толқынының таралу бағыты перпендикулярлы. Соққы толқынының ΔP_{opt} көрсетілу қысым келесі формула бойынша анықталады:

$$\Delta P_{opt} = 2\Delta P_{np(x)} + \frac{6\Delta P_{np(x)}^2}{\Delta P_{np(x)} + 0,72} \text{ (МПа);} \quad (3)$$

мұнда $\Delta P_{np(x)}$ — бөгеулердің орнатылу орнында жылыстаудың өткінші толқын фронтындағы қысым, МПа ($kg/s/cm^2$)

4.2.4 Қорғаныс құрастырылымдарының элементтеріндегі жылыстаудың соққы толқынына түсетін эквивалентті статистикалық жүктемені P_{ekv} , МПа ($kg/s/cm^2$) келесі формула бойынша есептеу қажет:

$$P_{ekv} = \Delta P_{max} K_d, \quad (4)$$

мұнда ΔP_{max} — есептелетін элементке соққы толқынының максималды қысымы (динамикалық жүктеме), МПа ($kg/s/cm^2$).

K_d — келесілерге тең етіп қабылданатын, динамикалық коэффициенті: 1,3 — серпінді пластикалық түр өзгертулер кезінде құрастырылымдарды есептеу кезінде; 1,8 — серпінді кезеңде құрастырылымдарды есептеу кезінде.

4.2.5 Баспалдақ бөлімшелеріндегі құрастырылымдық элементтерге түсетін жылыстаудың соққы толқыны әсерінен P_{cm} максималды аралас күшті және тіреулердегі арматурлауды келесі формула бойынша анықтау қажет:

$$P_{cm} = C_x \Delta P_{ek} S_m \quad (5)$$

мұнда C_x — КНЖЕ 11-11-77 бойынша қабылданатын, элементтің қарама-қарсы қарсыласуының коэффициенті;

S_m — жылыстаудың соққы толқынының таратылу бағытына (мидель қисылышу) перпендикуляр, жазықтықпен элементтің қызылышуының барынша үлкен ауданы, m^2 ;

ΔP_{ck} — келесі формулалар бойынша анықталатын жылдамдықты ағыс:

$$\Delta P_{ck} = \frac{2,5 \Delta P_{np(x)}^2}{\Delta P_{np(x)} + 0,72} \text{ (МПа);} \quad (6)$$

4.4 Өндірулердің қорғаныс құрастырылымдарын және құрастырылымдық элементтерін есептеу әдістері

4.4.1 Тасалау панасына жанасқан өндірулердің қөлемінің есебі

4.4.1.1 Күшті әсер етуші улы заттар (КӘУЗ), көміртек тотығымен газдалу және үстіңгі бетте көмір қышқылды газбен газдануға ұшырағыш нысандардағы тасалаушы паналарда бейімделген өндірулердің ішкі қөлемі бір тасалаушыға 5 м есептен тұруы тиіс. Бұл жағдайда табиғи тартылыш әсерінен ауа панадан шығып кететін, өндірудегі панаға әрбір жанасқан ішкі қөлем (m^3) желдету желісінің жақын торабына дейін $\frac{800 m_n}{m_b} (m_n, m_b$ — сәйкесінше панаға түсетін және табиғи желдету жағдайында ауа ағымымен одан шығып кететін панаға жанасқан өндірулер саны) кем емес тең болуы тиіс.

Ауа беруші тіреулер мен штолендер ауданындағы көміртек тотығының және көмір қышқыл газының күтілетін және рұқсат етілетін концентрациясы талаптарға сәйкес [2] анықталады.

4.4.1.2 Қорғаныс ғимараттарында 11 жасқа дейінгі балалардың, емшектегі баласы бар және жүкті әйелдердің және қарт адамдардың жатуына арналған орындармен 100% қамсыздандыру қарастырылады. Өзге тасаланушылар үшін орындардың 75 % отыру үшін және 25 % - жату үшін арналған.

Отыруға және жатуға арналған орындарды талаптарға [2] сәйкес жабдықтау қаже.

4.4.1.3 Жаяу паналаушылардың қозғалыстарына арналған өндірулер келесілермен жабдықталуы қажет: 7-ден 15°-ке дейінгі ылдилық бұрыштарында – таяныштармен, 15-тен аса және 30°-ға дейін — баспалдақтары және таяныштары бар басқыштармен, 30-тан жоғары 45°-ке дейін таянышы бар баспалдақтармен, 45° аса баспалдақ бөлімшелерімен.

4.4.1.4 Азық-түлік қоймасының ауданын талаптарға сәйкес [2] қабылдау қажет.

4.4.1.5 Тасаланушылардың жинағышы паналау орнына босату үшін қолданылатын ұзындығы 2-3 м және қимасы 1,2x2 м қолданылатын галерея тірегімен жалғасуы тиіс.

Жалғастырылған галереяны қоса алғанда жинақтағыштың ауданын адамға $0,15 m^2$ нормасы бойынша тасаланған жұмыс істейтін ауысымды қысқа уақытқа орналастыру есебінен қабылдау қажет.

Жинағыш және баған (шурф) баспананы қорғау деңгейіне сәйкес ядролық қарудың бүлдіру факторларының әсерінен қорғалуы тиіс.

4.4.1.6 Жұқтырылған киімдерді сақтауға арналған орындарды қорғаныс ғимараттарына кірер жолдар алдында қарастыру қажет.

4.4.2 Созылымды өндірүлөр контурында жыныстардың беріктігін есептеу

4.4.2.1 Пана ретінде бейімделген созылымды өндірүлөр контурындағы жыныстар беріктігін келесі тендеу арқылы анықтау қажет:

$$\begin{aligned} & \{(1,1\sigma_{\hat{a}} + \sigma_{cz})(\cos^2 \alpha + \xi \sin^2 \alpha) + \sigma_{cx}(\sin^2 \alpha + \\ & + \xi \cos^2 \alpha)\}\hat{E}_{\delta} + [\xi(1,1\sigma_{\hat{a}} + \sigma_{cz} + \sigma_{cx})]K_q \frac{1}{K_y} + \\ & + \sigma_0[K_p(\cos^2 \alpha + \xi \sin^2 \alpha) + \xi K_q] \leq R_{c(p)}^i; \end{aligned} \quad (7)$$

$$\begin{aligned} & \{(1,1\sigma_{\hat{a}} + \sigma_{cz})(\cos^2 \alpha + \xi \sin^2 \alpha) + \xi \sigma_{cx}\}\hat{E}_{\delta} + \\ & [\sigma_{cx} + [\xi(1,1\sigma_{\hat{a}} + \sigma_{cz})]K_q]\frac{1}{K_y} + \sigma_0[K_p(\cos^2 \alpha + \\ & + \xi \sin^2 \alpha) + \xi K_q] \leq R_{c(p)}^i; \end{aligned} \quad (8)$$

мұнда $\sigma_{\hat{a}}$ — жобалық тапсырмада берілетін қысым, МПа (kgs/cm^2);
 σ_{cz}, σ_{cx} — формуулалар бойынша анықталатын қысым, МПа (kgs/cm^2):

$$\sigma_{cz} = A U_{cz}; \quad (9)$$

$$\sigma_{cx} = A U_{cx} \quad (10)$$

мұнда A — 2-кесте бойынша анықталатын жыныстардың акустикалық қарсыласуы, МПа \cdot с/м ($\text{kgs} \cdot \text{s}/\text{cm}^3$);

U_{cz}, U_{cx} — жобалық тапсырмамен берілетін массалық жылдамдықтың сәйкесінше тігінен және көлденең құрамдас болігі;

α — көкжиекке өндірүлөр ылдилығының бұрышы, град;

ξ — келесі формула бойынша анықталатын жыныстардың бүйірлік қысымының коэффициенті:

$$\xi = \frac{v}{1-v}, \quad (11)$$

мұнда v — эксперименттік өлшеулөр деректері бойынша анықталатын, Пуассон коэффициенті;

K_p, K_q — Б қосымшасы бойынша қабылданатын сәйкесінші тігінен және көлденең жүктеулерде өндірүлөр контурына тангенстік кернеулөр шоғырлануының коэффициенттері;

Kу — келесілерге тең қабылданатын жыныстарды динамикалық орнықтыру коэффициенті: 1,0 - тұзды жыныстар, гипстер және ағашты әктастар; 1,3 және 1,5 – сыйымдаушы және созушы кернеулерге сәйкес әрекет ету шарттарындағы өзге жыныстар үшін;

σ_0 —формулалар бойынша анықталатын, жыныстар қалындығының тігінен қысымы:

$$\sigma_0 = 10^{-3} \gamma H_p (\text{МПа}); \quad (12)$$

$$\sigma_0 = 10^{-4} \gamma H_p (\text{кгс}/\text{см}^2), \quad (12a)$$

мұндау - өндіру алдындағы жыныстар қалындығының салыстырмалы салмағының орташа шамасы, kH/m^3 ($\text{кгс}/\text{м}^3$);

Нр-талаптарға сәйкес [3] қабылданатын, өндірулердің орналасуының есептік терендігі, м;

$R_{c(p)}^m$ - сыйымдау немесе созу жыныстарының есептік қарсыласуы, МПа ($\text{кгс}/\text{см}^2$), 13-формула. Формуланың (7) және (8) сол жақ бөлігінің оң белгісі сыйымдаушы кернеулердің бар екендігіне, теріс – созушы кернеулердің бар екендігіне нұсқайды.

4.4.2.2 R_c^m сыйымдау жыныстарына (массив) есептік қарсыласу талаптарға [3] сәйкес, В қосымшасы – нақты деректер болмаған жағдайда R_p^m созылуына сәйкес анықталуы тиіс.

Кесте 2–Жыныстардың акустикалық қарсыласуы

Тау жыныстары	Жыныстардың есептік қарсыласуы (сыйымдау массиві) R_c^m		Жыныстардың акустикалық қарсыласуы, А	
	МПа	кгс/см	МПа • с/м	к гс • с/см ³
Гипстер және тұзды жыныстар	10 40	100 400	8 12	0,8 1,2
Ағашты әктастар (қабыршақ тастар)	2 5 10	20 50 100	3 5 7	0,3 0,5 0,7
Құмды-алевролит-аргиллитті	10 30 50 100 150	100 300 500 1000 1500	6 8 10 14 16	0,6 0,8 1,0 1,4 1,6
Шашылған және метаморфиялық	20 50 100 200	200 500 1000 2000	10 12 15 20	1,0 1,2 1,5 2,0

4.4.2.3 Радиацияға қарсы пана ретінде бейімделген созылымды өндірүлер контурында жыныстардың беріктігін келесі тендеумен анықтау қажет:

$$\sigma_0 [K_p (\cos^2 \alpha + \xi \sin^2 \alpha) + \xi K_q] \leq R_{c(p)}^m \quad (13)$$

4.4.3 Жыныстардың құлауы әсерінен созылымды өндірүлерді бекітуге эквиваленттік статистикалық жүктеулерді есептеу.

4.4.3.1 Жыныстардың құларап кету әсерінен пана ретінде бейімделген өндірүлерді бекітуге түсетін эквивалентті статистикалық жүктеме $R_{ekb}^{kp(st.)}$ МПа (кгс/см²), келесі формула бойынша анықталады

өндіру қасбетінде

$$R_{ekb}^{kp(st.)} = 1,1(Q_{vib} + q_k)(\cos \alpha + \eta_{kp}); \quad (14)$$

Өндіру қабыргаларында

$$R_{ekb}^{kp(st.)} = 1,1(Q_{vib} + q_k)\eta_{st}. \quad (15)$$

Мұнда q_{vib} — келесі формулалар бойынша анықталатын, жыныстардың құлау салмағынан түсетін қысым:

$$q_{vib} = 10^{-3} \gamma h_{vib} \text{ (МПа);} \quad (16)$$

$$q_{vib} = 10^{-4} \gamma h_{vib} \text{ (кгс/см²),} \quad (16a)$$

Мұндан h_{vib} — жыныстардың құлау биіктігі, м;

q_k — бекіткіш салмағынан қысым, МПа (кгс/см²);

η_{kp} , η_{st} — келесі формулалар бойынша анықталатын өндіру қасбеті және қабыргалары жағынан сәйкесінше жүктеулердің өлшемсіз коэффициенттері:

$$\eta_{kp} = \frac{U_{cz} \cos \alpha + U_{cx} \sin \alpha}{5,3 \tau_h} \quad (17)$$

$$\eta_{kp} = \frac{U_{cx}}{5,3 \tau_h} \quad (18)$$

Мұнда τ_h — жобалық тапсырмамен берілетін уақыт, с.

4.4.3.2 Өндірудегі жыныстардың құлау биіктігін (қалындығын) $h_{\text{выб}}$ келесі формула бойынша анықтауға болады:

$$h_{\text{выб}} = 0,3B \left(1 - \frac{R^{\frac{m}{c(p)}}}{\sigma_{\max}}\right), \quad (19)$$

мұнда B —өндіру бойы, м;

σ_{\max} —(7) және (8) теңдеулерінің сол жақ шамаларының барынша үлкен мәніне тең келетін максималды кернеу, МПа (kgs/cm^2).

4.4.3.3 Бұрғылау-жарылыс тәсілімен орындалған өндірулер үшін $h_{\text{выб}} = 0,2B$ үлгайту қажет.

Жыныстардың құлау әсерінен өндірулерді бекітуге жұмсалатын күштеулер құрылыс механикасының ережелері бойынша анықталады.

4.4.4 Камералық өндірулердегі тәбе және камералық кентіректердің беріктігін есептөу.

4.4.4.1 Пана ретінде бейімделген камералық өндірулерде егер оның қалындығы камера бойының екі еселенген шамасынан кем немесе тең болса ($h_{\text{n}} \leq 2l$), тәбе беріктігі келесі теңдеуді бөлу, созу және қысқарту арқылы анықталады:

бөлуге

$$\begin{aligned} & \frac{0,6l}{h_i} \left\{ \left(\frac{1,1\sigma_a + \sigma_{cz} + \xi\sigma_{cx}}{K_y} + \sigma_{0(i)} + \sigma_{0(r)} \right) - \right. \\ & \left. - \left[\frac{\xi(1,1\sigma_a + \sigma_{cz}) + \sigma_{cx}}{K_y} + \sigma_{0(i)} + \right. \right. \\ & \left. \left. + \xi\sigma_{0(r)} \right] \right\} \leq R_{\bar{n}\delta}^i; \end{aligned} \quad (20)$$

созуға

$$\begin{aligned} & \frac{(l^2 + l_{i\delta}^2)}{2h_i^2} \left\{ \left(\frac{1,1\sigma_a + \sigma_{cz} + \xi\sigma_{cx}}{K_y} + \sigma_{0(i)} + \sigma_{0(r)} \right) - \right. \\ & \left. - \left(1 + \frac{h_k}{2h_i} \right) \left[\frac{\xi(1,1\sigma_a + \sigma_{cz}) + \sigma_{cx}}{K_y} + \sigma_{0(i)} + \right. \right. \\ & \left. \left. + \xi\sigma_{0(r)} \right] \right\} \leq R_{\delta}^i; \end{aligned} \quad (21)$$

қысқартуға

$$\begin{aligned} & \frac{(l^2 + l_{i\delta}^2)}{2h_i^2} \left\{ \left(\frac{1,1\sigma_a + \sigma_{cz} + \xi\sigma_{cx}}{K_y} + \sigma_{0(i)} + \sigma_{0(r)} \right) - \right. \\ & \left. - \left(1 + \frac{h_k}{2h_i} \right) \left[\frac{\xi(1,1\sigma_a + \sigma_{cz}) + \sigma_{cx}}{K_y} + \sigma_{0(i)} + \right. \right. \\ & \left. \left. + \xi\sigma_{0(r)} \right] \right\} \leq R_c^i; \end{aligned} \quad (22)$$

мұнда l — камера бойы, м;

h_k — камера биіктігі, м;

h_n — төбе қалыңдығы, м;

f — жинақтың көтерілу бағыты, м;

R_c^m - В қосымшасы бойынша нақты деректердің болмауы жағдайында қабылданатын бөлуге жыныстардың (массивтің) есептік қарсыласуы;

$\sigma_{0(m)}, \sigma_{0(n)}$ — келесі формулалар бойынша анықталатын төбе жыныстары және жұмсақ грунттардың қабатына сәйкес келетін тігінен қысымдар:

$$\sigma_{0(m)} = 10^{-3} \gamma_m h_m \text{ (МПа);} \quad (23)$$

$$\sigma_{0(n)} = 10^{-3} \gamma_n h_n \text{ (МПа);} \quad (24)$$

мұнда γ_m, h_m - жұмсақ грунттар қабаты мен төбе жыныстарының сәйкесінше орташа салыстырмалы салмағы, kN/m^3 ;

h_m — жұмсақ грунттар қабатының қалыңдығы, м;

l_{np} — сейілу (бұзылу) ені, м.

4.4.4.2 Пана ретінде бейімделген камералық өндірulerde, егер оның қалыңдығы камера бойының екі еселенген шамасынан үлкен болса ($h_n > 2l$), төбе беріктігі келесі тендеулерден алынатын бұрылышына айқындалады:

$q_{zak} < 0,1 R_c$ болғанда

$$\frac{K_{kp}(1+K_n)P_n + \frac{1,1\sigma_b + \sigma_{cz} + \xi\sigma_{cx}}{K_y}}{R_n^m} \leq R_n^m \quad (25)$$

$0,1 R_c < q_{zak} < 0,8 R_c$ болғанда

$$\frac{\frac{K_{kp}(1+K_n)P_n + \frac{1,1\sigma_b + \sigma_{cz} + \xi\sigma_{cx}}{K_y}}{1 - \frac{q_{zak}}{R_c}}}{R_n^m} \leq R_n^m, \quad (26)$$

мұнда q_{zak} —келесі формула бойынша анықталатын бекітуші жүктеме, МПа (kgf/cm^2):

$$q_{zak} = \frac{q_0 S_{kp}}{F_n} \quad (27)$$

мұнда S_{kp} — бір кентірекке сәйкес келетін қасбет ауданы, m^2 ;

F_n — кентіректің көлденең қылылысу ауданы, m^2 ;

R_c —эксперименттік өлшеулер нәтижелері бойынша айқындалатын, бір осытік сығымдау үлгісінде жыныстардың қарсыласуының орташа мәні, МПа;

K_{kp} —Г қосымшасы бойынша нақты деректер болмаған жағдайда қабылданатын,

төбенің салмақ түсетін қабілеттілігінің коэффициенті;

K_n — тең ретінде қабылданатын жүктеу коэффициенті;

0,5 — нақты айқындалған қабаттылығы бар жыныстар үшін;

0,35 — орташа қабаттық жыныстар үшін;

0,2 — кіші қабаттылық;

$K_n = 0$ — қабаттық емес жыныстар үшін;

P_n — формуулалары бойынша анықталатын, төбенің төменгі салмақ түсетін қабатындағы жыныстарға келтірілген тігінен қысым:

$$P_n = 10^{-3} \gamma_{n,c} \frac{I^2 + I_{np}^2}{2h_{n,c}} \text{ (МПа);} \quad (28)$$

мұнда $\gamma_{n,c}$ — төменгі салмақ түсетін қабат жыныстарының орташа салыстырмалы салмағы, kN/m^3 ;

$h_{n,c}$ — төменгі салмақ түсетін қабат жыныстарының қалындығы, м;

$R_i^m - R_u^m = 0,3 R_c^m [R_c^m]$ тең келетін нақты деректер болмаған жағдайда қабылданатын, иілім жыныстарының (массив) есептік қарсыласуы — сығымдау жыныстарының (массивінің) есептік қарсыласуы.

$q_{zak} \geq 0,8 R_c$ болған жағдайда төбенің беріктікке есебі жүргізілмейді. Төбе бұл жағдайда статистикалық жүктемелер әсерінен тұрақсыз ретінде есептеледі.

4.4.4.3 Тасалау паналарындағы камера аралық кентіректердің беріктігі келесі тендеумен анықталады:

Жолақтық

$$\frac{\frac{K_n K_h \sigma_0 (b_n + l)}{K_\phi b_n} + \frac{K_\sigma^p (\sigma_b + \sigma_{cz}) + K_\sigma^p \xi \sigma_{cz}}{K_y} \leq R_c^m}{K_y}; \quad (29)$$

бағандық

$$\frac{\frac{K_n K_h \sigma_0 (b_n + l) (l_n + l_{np})}{K_\phi b_n l_n} + \frac{K_\sigma^p (\sigma_b + \sigma_{cz})}{K_y} \leq R_c^m}{K_y}; \quad (30)$$

мұнда K_n — Г қосымшасы бойынша эксперименттік деректердің болмауы жағдайында қабылданатын, кентірекtiң салмақ түсетін қабілеттілігінің коэффициенті;

K_h — тең ретінде қабылданатын коэффициенті;

$L < H$ жағдайында 0,5 — әлсіз жыныстардың қабаттары бар кентіректер үшін;

0,7 " $L < H$ — біртекті кентіректер үшін;

1,0 " $L > H$ — барлық кентіректер үшін (L, H — шахталық өрістің өндөлген

кеңестігінің орналасуының сәйкесінше ені және тереңдігі, м);

$b_{\text{ц}}, l_{\text{ц}}$ — кентіректің сәйкесінше ені және ұзындығы, м;

К ϕ — тең ретінде қабылданатын коэффициент: орташа- және күшті жарықтығы бар жыныстар үшін:

$$0,6 + 0,4 \frac{b_{\text{ц}}}{h_{\text{ц}}} \text{ при } 0,3 \leq \frac{b_{\text{ц}}}{h_{\text{ц}}} \leq 1; \quad \frac{b_{\text{ц}}}{h_{\text{ц}}} " \quad 1 < \frac{b_{\text{ц}}}{h_{\text{ц}}} \leq 4; \quad (31)$$

әлсіз жарықтығы бар жыныстар үшін:

$$K_{\phi} = \left(\frac{b_{\text{ц}}}{h_{\text{ц}}} \right)^{0.5} \quad .(32)$$

тактатас жыныстары үшін:

$$K_{\phi} = 0,7 + 0,3 \frac{b_{\text{ц}}}{h_{\text{ц}}}; \quad .(33)$$

($h_{\text{ц}}$ —кентірек биіктігі, м)

$K_{\sigma}^p, K_{\sigma}^q$ - 3 және 4 кестесі бойынша жолақ кентіректер үшін қолданылатын, сығымдалу толқындары және эпицентрлік сейсмикалық толқындардың кентіректермен өзара әрекеттесу коэффициенті; тіреулік кентіректер үшін K_{σ}^p и K_{σ}^q кентіректері жолақ кентіректерге арналған осы коэффициенттерден 0,85-ке тең етіп қабылдайды.

Кесте 3 –Сығымдалу толқындарының және эпицентрлік сейсмикалық толқындардың кентіректермен өзара әрекеттесу коэффициенті

Камера аралығына кентіректің биіктігінің қатынасы ($h_{\text{ц}}/l$)	Жолақтық кентіректерінің саны жағдайында K_{σ}^q коэффициентінің мәндері			
	2	5	10	≥ 15
0,3	2,7	3,2	3,7	4,0
0,5	2,4	2,9	3,4	3,7
0,7	2,2	2,7	3,1	3,4
1,0	2,1	2,5	2,9	3,1
2,0 және одан да аса	2,0	2,4	2,7	2,9

Кесте 4—Тау жыныстарының Пуассон коэффициенті жағдайында K_q^p коэффициент мәндері

Камера аралығына көнтіректің биіктігінің қатынасы (h_n/l)	Тау жыныстарының Пуассон коэффициенті жағдайында K_q^p коэффициентінің мәні					
	0,10	0,15	0,20	0,25	0,30	0,35
0,3	0,4	0,6	0,8	1,0	1,2	1,4
0,5	0,3	0,5	0,7	0,9	1,1	1,3
0,7	0,2	0,4	0,6	0,8	1,0	1,2
1,0	0,1	0,3	0,5	0,7	0,9	1,1
2,0 және одан да көп	0,1	0,2	0,4	0,6	0,8	1,0

4.4.4.4 Радиацияға қарсы паналар ретінде бейімделген камералық өндірулерде төбе беріктігі $h_n \leq 2l$ тең болған жағдайда келесі теңдеумен есептеледі:

қыындыға

$$\frac{0,6l}{h_n + f} [(\sigma_{0(m)} + \sigma_{0(n)}) - (\sigma_{0(m)} + \xi \sigma_{0(n)})] \leq R_{cp}^m; \quad (34)$$

созылуға

$$\begin{aligned} \frac{l^2 + l_{np}^2}{2h_n^2} [(\sigma_{0(m)} + \sigma_{0(n)}) - \left(1 + \frac{h_k}{2h_n}\right) (\sigma_{0(m)} + \xi \sigma_{0(n)})] &\leq R_p^m; \\ (\sigma_{0(m)} + \xi \sigma_{0(n)}) &\leq R_p^m \end{aligned} \quad (35)$$

сығымдалуға

$$\begin{aligned} \frac{l^2 + l_{np}^2}{2h_n^2} [(\sigma_{0(m)} + \sigma_{0(n)}) + \left(1 + \frac{h_k}{2h_n}\right) (\sigma_{0(m)} + \xi \sigma_{0(n)})] &\leq R_c^m; \\ (\sigma_{0(m)} + \xi \sigma_{0(n)}) &\leq R_c^m \end{aligned} \quad (36)$$

4.4.4.5 Радиацияға қарсы паналар ретінде бейімделген камералық өндірулерде төбе беріктігі $h_n > 2l$ болған жағдайда келесі теңдеулерден анықталады:

$q_{зак} < 0,1 R_c$ болған жағдайда

$$K_{kp}(1 + K_n)P_n \leq R_u^m; \quad (37)$$

$0,1 R_c < q_{зак} < 0,8 R_c$ болған жағдайда

$$\frac{K_{kp}(1 + K_n)P_n}{1 - \frac{q_{зак}}{R_c}} \leq R_u^m; \quad (38)$$

Осыған қоса $q_{зак} \geq 0,8 R$ стөбенің беріктікке есебі жүргізілмейді. Камераның төбесі бұл жағдайда берік емес ретінде есептеледі.

4.4.4.6 Радиацияға қарсы паналардағы камера аралық тұтастықтар тұрақтылығы келесі тендеулерден айқындалады:

жолақтық

$$\frac{K_u K_h \sigma_0 (b_u + l)}{K_\phi b_u} \leq R_c^m; \quad (39)$$

бағандық

$$\frac{K_u K_h \sigma_0 (b_u + l)(l_u + l_{np})}{K_\phi b_u l_u} \leq R_c^m; \quad (40)$$

4.4.5 Сейсикалық жарылыс толқындарының әсерінен өндірулер бекіткіштеріндегі күштеулересебі

4.4.5.1 Жартасты және жартылай жартасты жыныстардан өтетін, өндірулердегі көлденең қыылышудың жиынтық нобайлануының монолитті бетонды және темір бетон бекіткішіндегі M , МПа • см³ (кгс • см) иілімді сәті келесі формула бойынша анықталады:

$$M = -P_{ekv}^c \frac{r_0^2}{K_{p,o} \mu_1} \left[\frac{\mu_2}{12(1+\mu_2)} + \right. \\ \left. + \frac{1-\nu}{4} (K_k - 1 - \xi) \right], \quad (41)$$

P_{ekv}^c мұндағы формулалар бойынша анықталатын эквивалентті статистикалық жүктеме, МПа (кгс/см²)

$$P_{ekv}^c = (1,1 \sigma_b + \sigma_{cz})(\cos^2 \alpha + \xi \sin^2 \alpha) + \\ + \sigma_{cx} (\sin^2 \alpha + \xi \cos^2 \alpha) + \xi (1,1 \sigma_b + \sigma_{cz} + \sigma_{cx}); \quad (42)$$

$$P_{ekv}^c = (1,1 \sigma_b + \sigma_{cz})(\cos^2 \alpha + \xi \sin^2 \alpha) + \\ + \sigma_{cx} (1 + \xi) + \xi (1,1 \sigma_b + \sigma_{cz}); \quad (43)$$

r_o — келтірілген қазба радиусы, қазбаның көлденең сызбасы 0,16 периметрге тең, см-мен алғанда;

Кр.о — коэффицент, қазба аумағын өзгертуде тіреуішке реактивті соққы беру әсерін есептегішін, 5-ші кесте бойынша қабылдануы керек;

μ_1, μ_2 — коэффициенттері, қысқаңда және илдіргенде тіреуіштің қаттылығын есептегіші;

K_k — қазба аумағында тоқты ұлғайтуда коэффициенттер қосындысы, мына формула бойынша анықталады:

$$K_k = K_p (\cos^2 \beta + \xi \sin^2 \beta) + \xi K_q, \quad (44)$$

$$\begin{aligned} K_k = & K_p (\cos^2 \beta + \xi \sin^2 \beta) + K_q (\sin^2 \beta + \\ & + \xi \cos^2 \beta) + K_{pq} (1 - \xi) \cos \beta \sin \beta \end{aligned} \quad (45)$$

β' - бұрыш, жауын кезіндегі салмақты ескере отырып, мынаған тең болады:

$$\beta' = \arctg \frac{\sigma_{cx}}{1,1 \sigma_b + \sigma_{cz}} \quad (46)$$

K_{pq} — қуаттың ығысу коэффициентінің шоғыры Б қосымшасы бойынша анықталады.

Егер (7) 5-дәреже шарты сақталмаса, онда P_{ekw}^c формуласы (39) және (41) формула K_k коэффициенті бойынша есепке алынады, ал егер (8) 5 - дәреже шарты сақталмаса, онда P_{ekw}^c формула (40) және K_k формула (42) бойынша жүзеге асырылады.

5 –Кесте. Қазба аумағын өзгертуде тіреуішке реактивті соққы беру әсері есебінің коэффициенті

Еп/Еб	0,5	1,0	1,5	2 и более
Кр.о	1,6	1,3	1,2	1,0

Еп, Еб —бетон және жыныс тығыздығының сәйкестік модулі, МПа (kgs/cm^2).

Коэффициенттер μ_1 и μ_2 мына формулалар бойынша анықталады:

$$\mu_1 = \frac{E_n r_0^4}{K_{dp} E_b d_k^3 r_v \eta_1 (1 + v)}; \quad (47)$$

$$\mu_2 = \frac{E_n r_0^2}{K_{dp} E_b d_k r_v \eta_2 (1 + v)}. \quad (48)$$

K_{dp} — коэффициенті, яғни бетонның сызық бойындағы дермотивтік қасиеті 6-кестебойынша қабылданады;

d_k —тіреуіш қалындығы, см;

r_v — шенбер радиусы, қазбаның көлденен қесінді ауданына тең, см;

η_1, η_2 —коэффициенттері, тіреуіштің қаттылығы арматураға әсері мына формулалар бойынша есептелінеді:

$$\eta_1 = 1 + \frac{24 E_a l_0^2 F_a}{K_{\text{дф}} E_b d_k^3} \quad (49)$$

$$\eta_2 = 1 + \frac{E_a^2 F_a}{E_b d_k} \quad (50)$$

E_a — арматураның илгіштік модулі, мәлімет анықтамасы бойынша қолданылады, МПа (kgs/cm^2);

l_0 — тіреуіштің бейтарап осінен ауыр арматураның бойымен ортасына дейінгі ара қашықтық, см;

F_a — арматураның көлденең кесінді ауданы, cm^2 .

6— Кесте. Бетонның сзызық бойындағы дермотивтік қасиетінің коэффициенті

$P_{\text{екв}}^c / 10^{-4} E_n$	1	3	5	7 және астам
$K_{\text{дф}}$	0,9	0,8	0,7	0,5

4.4.5.2 N , МПа \cdot cm^2 (kgs) бойлау күші, қазба кезіндегі темір бетон тіреуіші және тұтас бетон ережесі, тастақ және жартылай тастақ жерлерден откенде мына формула бойынша анықталады:

$$N = P_{\text{екв}}^c \frac{r_0}{K_{\text{п.о}}} \left[\left(\frac{1}{1 - \mu_2} + \frac{1 - v}{4 \mu_1} \right) (K_k - 1 - \xi) \right] \quad (51)$$

Қабырғадағы бойлау күші ережедегі бойлау күшімен тең қабылдану қажет, көбейткенде $\sin \phi_n$, (ϕ_n — бұрыштың еңісінің көлденең кесінді табаны ережеде қазбаның вертикалды осіне қатысты болады, жауынның).

4.4.5.3 Қазбаның тіреуіші, жұмсақ топырақта орналасса, онда салмақтың әсерінен — статистикалық және қысым толқынын тексерілуі қажет.

$P'_{\text{екв}}$ МПа (kgs/cm^2) қысым толқынынан статистикалық салмақтың вертикалды эквиваленті мына формула бойынша анықталады:

$$P'_{\text{екв}} = \sigma_b K_o, \quad (52)$$

K_o — коэффициенті, жұмсақ топырақ пен тіреуіш шегі қысымды үлкейтудегі есеп көрінісінен 7- кесте бойынша қабылданады.

7 –Кесте. Жұмсақ топырақ пен тіреуіш шегі қысымды ұлкейтудегі есеп көрінісінің коэффициенті

$\frac{A_{rp}}{A_{kp}}$	0,1	0,4	0,6	0,8	1,0
K_o	1,8	1,4	1,25	1,1	1,0

7- кестедегі A_{rp} — акустикалық кедергісі жұмсақ топырақ пен тіреуішке сәйкес мәлімет анықтамасы бойынша қабылданады.

Жұмсақ топырақта орналасқан қазбадағы тіреуішті күшету құрылыштық механикалық әдіс бойынша анықталады.

4.4.6 Желдеткіш тамбур-шлюздегі ауа шығыны мен тамбур-шлюздегі ауа ағымын тексеру

4.4.6.1 Ауа көлемі, яғни қажетті ауаны баспана астына сүзгілеп желдету кезінде ортадағы тиесілі жіберілетін ауа ортасы $1 \text{ m}^3/\text{(с-адам)}$ есебімен қабылдануы керек.

4.4.6.2 Ауа көлемі, яғни қажетті ауаны баспана астына сүзгілеп желдету $Q_{\phi.v.}, \text{m}^3/\text{с}$ — пен берілу керек, тамбур-шлюздегі 2 даПа (мм су. ст.) ұлғайтылған ауаны ұстап тұратын тіреуіш жағдайын тексеру жәнетамбур-шлюздегі желдету ауа шығыны былай анықталады:

$$Q_{\phi.v.} \geq n_t + Q_t, \quad (53)$$

n_t — тамбур-шлюз саны, яғни бірмезеттегі ауаны ұстай тіреуіші қарастырылады (екеу болып кіретін шлюз бір тамбур- шлюзде қабылданады);

Q_t — тамбур-шлюздегі желдету ауа шығыны 25-қысқақөлемдегі тамбур-шлюзге тең болып қабылданады, $\text{m}^3/\text{с}$.

4.4.6.3 $Q_n, \text{m}^3/\text{с}$ ауа көлемінің есебі, яғни бір камералы тамбур-шлюзі (тамбур, шлюздік камера)арқылы тіреуішті көтеру үшін мына формула бойынша анықталады:

$$Q_n = 200 + 150(2 + h_e)^{0.5}, \quad (54)$$

h_e — баспана асты қабатындағы табиги ауа күшінің максималдықысымы (депрессия), даПа (мм су. ст.).

5 ИНЖЕНЕРЛІК-ТЕХНИКАЛЫҚҚУРАЛ-ЖАБДЫҚ

5.1 Ғимараттарды қорғауды құруда инженерлік-техникалық құрал қажет, яғни оларды жабуды қамтамасыз етуде.

5.2 Ауа ортасында ғимараттарды қорғауда газдық және микроклиматтық құрамының параметрлері ҚР ҚНжЕ – нің 2.04-09 талабына сәйкес қабылданады.

5.3 Гимараттарды қорғауда санитарлы-техникалық құрал жүйесінде бірегей құралжабдықтар қолданылады, сонымен қатар, яғни өндірістік объект жұмысында бекітілген құралдар қолданылады.

Құралдар элементінің арсындағы өткелдер мен саңылаулар, сонымен қатар құралдар мен қазбалар элементінің құрылымдық арасын ҚР ҚНжЕ – нің 2.04-09 талабына сәйкес қабылдау қажет.

Баспана желдеткіші

5.4 Баспана астының желдеткішінің жүйесі екі режимдік-таза желдеткіш пен сұзгілеу желдеткішімен жобаланады.

Баспана астының желдеткішінің түбегейлі сұзбасы 1- суретте келтірілген.

5.5 Таза желдеткіш талабы ауақұрамы мен артық жылуды шығаруды қамтамасыз етуді қарастырады.

Сондай жағдайларда, ауа қақпалары жоғарыдан шығатын жерден 50 м-ге дейін қашықтықта орналасады, яғни баспана астына берілетін ауа таза желдеткіш тәртібі бойынша шаңға қарсы сұзгісі бойынша шаңнан тазалау қажет.

Баспана астындағы берілетін ауаны газ тәрізді өнімдерден тазалауда көптеген бұзатын және ұстап тұратын ауа ортасынан берілген параметрлер сұзгілеу желдетумен қарастырылады.

5.6 Таза желдеткіштегі ауа қалпы⁸- кесте бойынша қабылданады.

8 –кесте. Таза желдеткіштегі ауа қалпы

Жылдың жаз мезгіліндегі қазбаның ауа температурасының қалыпты (өндірістік) желдеткіште t_B , °C	Таза желдеткіштегі ауа қалпы, $m^3/(c\cdot adam.)$
10- дейін	2
10-нан жоғары 15-ке дейін	3
„ 15 „, 20	5
„ 20 „, 23	7
„ 23 „, 27	10

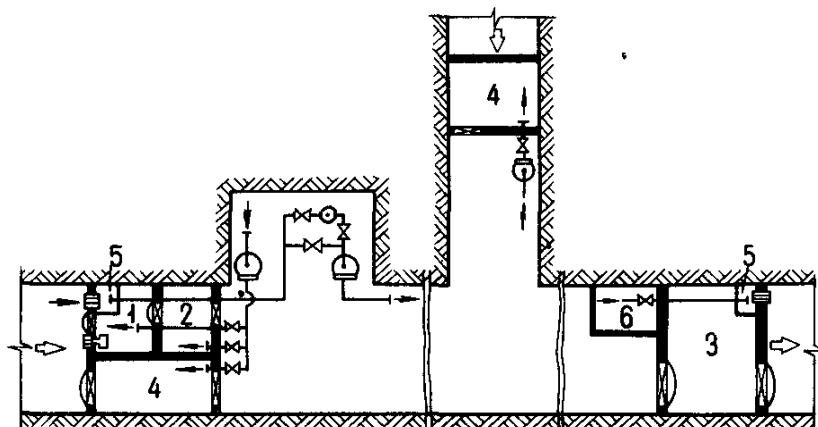
5.7 Сұзгілеу желдету кезінде, ауа ортасындағы параметрлерді ұстап тұруда, ауа көлемі, яғни баспанаға берілетін есебі $1 m^3/(c\cdot adam.)$ болады.

5.8 Ауа көлемі, яғни баспана астына берілетін сұзгілеу желдету тәртібі бойынша $Q_{Ф.В.}, m^3/c$ – пен берілу керек, тамбур-шлюздегі 2 даПа (мм су. ст.) ұлғайтылған ауаны ұстап тұратын тіреуіш жағдайын тексеру және тамбур-шлюздегі желдету ауа шығыны былай анықталады:

$$Q_{Ф.В.} \geq 200 n_t + Q_t, \quad (55)$$

n_t – тамбур-шлюз саны, яғни бірмезеттегі ауаны ұстая тіреуіші қарастырылады (екеу болып кіретін шлюз бір тамбур - шлюзде қабылданады);

Qt - тамбур-шлюздегі желдету ауа шығыны 25-қысқа көлемдегі тамбур-шлюзге тең болып қабылданады, m^3 / c .



1-Сурет. Баспаханадағы желдеткіштің түбәгейлі сұзбасы

1 – желдеткіш тамбур-шлюз; 2 - шлюздік камера; 3 - тамбур-шлюз; 4 - тамбур; 5 – саңылаусыз мықты бекітілген кеңейтілген камера; 6 – санитарлық торап.

Шартты белгілірі:

- | | |
|-----------------------------|---------------------------------------|
| Ⓐ желдеткіш | ━ қорғау құралы |
| ○ сұзгі-сорғыш | □ артық қысым қақпақшасы |
| ☒ саңылаусыз | қақпақша → ауаның қозғалыс бағыты |
| — ауа жолы | → табиғи ауыр ауаның қозғалыс бағыты |
| ✉ саңылаусыз-қорғаныс есіті | ☒ саңылаусыз есік (мықты бекітілген). |

5.9 $Q_n, m^3/c$ ауа көлемінің есебі, яғни бір камералы тамбур-шлюзі (тамбур, шлюздік камера) арқылы тіреуішті көтеру үшін мына формула бойынша анықталады:

$$Q_n = 200 + 150 (2 + h_e)^{0.5}, \quad (56)$$

h_e - баспаңа астының қабатындағы табиғи ауа күшінің максималдықысымы (депрессия), даСа (мм су. ст.).

5.10 Баспаңа астынан алынатын тамбур-шлюздегі тіреуіш (тамбурдағы) және тамбур-шлюздегі үрлеу желдеткіші ауа арқылы қарастырылады. Осы мақсатта желдеткішті таңдауда қысымның артықшылығын және табиғи ауыр ауа әрекетін есепке алу керек.

5.11 Баспаңа астының таза желдеткіші табиғи желдеткіштің әрекеті есебінен (табиғи ауырлық арқылы) немесе желдеткіштердің көмегімен қарастырылады.

5.12 Табиғи желдеткіш мынандай жағдайда жоспарланады, жылдың кез келген уақытында бейімделген қазбалар ауа көлемі параметрінінің қажеттілігі бойынша ҚР ҚНжЕ – нің 2.04-09 талабына сәйкес болады.

5.13 Желдеткішпен мәжбүрлеу жүйесінде баспана астында дербес түрде электр қуаты болмаған жағдайда желдеткішті қосуға қолданап электр қуатын жүргізу қажет және электр қуатымен жүргізілген дербес түрде қамтылған желдеткіштер болу керек.

5.14 Баспана астынан ауаны шығарғанда табиғи жолмен жүзеге асырылуы тиіс. Осындай жағдайда осы негізгі маңсатты жүзеге асыруда сорып алатын желдеткіштер қолданылуы қажет.

5.15 Баспана астында ауа қақпақтарында және ауа шығаратындарда қысым аймағында қосалқы қысымның $0,01 \text{ МПа}$ ($0,1 \text{ кгс}/\text{см}^2$) басым болу туындайтын болған жағдайда жарылысқақарсы құрылғысы орнатылуы қажет.

Радиациядан қорғау желдеткіші

5.16 Соғыс кезінде қазабаларды орналастыру әрекетін тұрақты электрмен қамтуда, желдеткіштерді қолдану, яғни орнатылған өндірістік желдеткішінің шарты бойынша радиациядан қорғау желдеткіші қарастырылады.

5.17 Өндірістік желдеткіш болмаған жағдайда, сонымен қатар соғыс уақытында объектіні тұрақсыз электрмен қамтуда, табиғи ауыр әрекеті есебінен 5.12 бөліміне сәйкес радиациядан қорғау желдеткіші қарастырылады немесе желдеткішті орналастыру кезінде қолданап жүргізіледі не аккумулятордың батарейкалары арқылы орнатылады.

5.18 Радиациядан қорғану желдеткішінің ауа көлемі, яғни жұмысшылар мен қазметкерлердің ауысым кезін қорғауды қарастырады, 8-кесте бойынша қабылданады.

Сондай жағдайда, тұрғындарды радиациядан қорғау кезіндегі ауа қалпы 8-кесте бойынша 1,2 көтеріңкі коэффициентімен қабылданады.

5.19 Желдеткіш жүйесінде ауа қақпағы құрылғысын механикалық тұрғыда оранласуы, олардың ұнғыма қазбалардың орналасуында және көлбеу оқпандарда, жерден биіктік деңгейі 1 м-ден кем болмауы тиіс (қазбалардың қыртысы) және оларға радиациялық шөгінділер түспеуі үшін құралдармен жабдықтау қажет.

Сүмен қамту және қоқыстан тазарту

5.20 Қорғаныс ғимаратындағы артық ауыз суды қорғауда тәулігіне әрбір қорғанысқа 2 л су есептеліну керек.

Ауыз су ретінде ішілетін ауыз су ҚНЖЕ-нің 2.04-09 талабына сәйкес болуы қажет.

5.21 Ауыз су сыйымдылығы қақпақшалармен және су екенін көрсетіп тұратынымен жабдықталуы қажет.

5.22 Ауыз суды таратуда су бөлетін крандармен жабдықталуы керек-1 кран 300 адамға не ауыспалы бочкаларға жету қажет.

5.23 Тазалық құбырлары қоқыстан тазалайтын вагоншалармен не қазандықтармен жабдықталуы қажет тәулігіне қорғалғанда 2 л нысапқа дейін қабылдай алатындей етіліп.

Қоқыс тазалайтын вагоншалар былай орнатылуы қажет, яғни вагоншаның жоғарғы қабаты қазбаның төбесіне дейін 1,3 м-ден кем болмайтындей ара қашықтықта болуы тиіс.

5.24 Қорғаныс ғимаратында құрғақ қалдықтарды жинауга, жабық күйдегі- қораптар, қағаздан жасалған қаптар, пакеттер, яғни тәулігіне қорғалатын бір адамға 1 л-ге дейінгі есеппен алғанда.

Электрмен қамту, жарықтандыру және байланыс

5.25 Қорғалатын ғимарат электрмен қамтылуы сыртқы желі бойынша жүзеге асырылады.

Қажет болған жағдайда қорғаныс ғимаратына дербес түрде электрмен қамту көзі-аккумулятор батарея не дизелдік электростанциялары (ДЭС) орнатылады.

5.26 Баспаналар астына $1200\text{m}^3/\text{s}$ -тан асатын өндірілген сұзгілеу желдеткіш агрегаттары бар ДЭС орналастыру қарастырылған.

Объекталарда, техникалық мақсаттарда аккумуляторлық батерейлар қолданады, оларды қорғаныс ғимаратында қолдану дербес түрде электрмен қамту көзі шектелмейді.

5.27 Электр құралы, қуаттандыру және жарықтандыруды орнатуды өндіріс саласына сай қауіпсіздік ережесінің талабын орындағының пайдалану.

5.28 ДЭСКНжЕ-нің 2.04-09 талабына сәйкес жобалануы қажет.

Шахталарда (кенорындарында), қауіпті газ аймағында, ДЭС кеніштік жарылыстық қауіпсіздігі болмауы керек. ДЭС-ті қалыпты жағдайда (жарылмайтын) жаңа желдеткіш желісінде және ғимаратта ДЭС-те метан концентрациясын толассыз бақылау аппаратын орнатуға жол беріледі.

5.29 Баспаналар астында ДЭС-ті орнатуда оны ядролық фактордың әрекетінен қорғауды жоспарлау. Қызмет көрсетіп жатқан кісіні бүлінген аудан қорғауда бұл жағдайда баспана астына демалыс орны ретінде жеке өнім ретінде қолдану қарастырылады.

5.30 Электрмен жарықтандырудың стационарлы желісі қорғау ғимаратын дербес электрмен қамту көзі құралымен, сонымен қатар объектіде соғыс кезінде тұрақты электрмен қамтуды жабдықтау.

5.31 Қазбалардағы жарықтандыру қалпы, қолданатын қорғау имаратында, 9 –кестеде көрсетілген ережеге сай қабылдануы қажет.

9 –Кесте. Қазбалардағы жарықтандыру қалпы

Қазбалардағы жарықтандырылатын аймақтар мен ғимараттар	Минималды жарықтандыру, лк	Жоғарғы жағы, яғни жарықтану қалпына қатысты
Корғалатын қазбаларды орналастыру үшін, баспана астына кіретін жерлер, тазалық торабы	2	Жер қыртысында
Сұзгілеу желдеткіш камерасы және дербес қуаттандыру көзінің ғимараты	5	Жер қыртысынан 0,8 м деңгейінде
Медициналық бекеттері	50	Бұлда солай
Тазалық бекеттері	30	“
Объектінің басқару бекеті	20	“

Ескеरту Қорғалатынқазбаларды, баспана астын, тазалық торабын жарықтандыруды орналастыруда 0,3 л ғана рүқсат беріледі.

5.32 Қорғаныс ғимараты, жарықталатын стационармен жабдықталуда, қорғалатын эвакуациялар қажет болған жағдайда артық жарықтандыру шамдармен қолданылады жеке қолданыс ретінде шамамен бір жарықтандыру 10 қорғанысқа жетуі керек.

5.33 Қорғаныс ғимаратында, жарықтандыру стационары қарастырылмаса, жеке қолданыс ретінде ауыспалы шамдарды қолдану қарастырылады. Бұл жағдайда жарықтандыру шектелмейді.

5.34 Қорғаныс ғимаратында хабарландыру және байланыс құралдарымен жабдықталуы тиіс және де объектінің жалпы хабарландыру мен байланыс жүйесіне кіру керек.

5.35 Қорғаныс ғимараты объектіде басқарылатын телефон байланысы болуы қажет.

Баспана астында ішкі дербес телефон байланысы бар сүзгілеу желдеткіш камерасымен болуы қажет, қорғаныс жолдары ретінде, ғимараттың дербес электрмен қамту көзі және медициналық бекеті болуы тиіс.

6 ӨРТКЕ ҚАРСЫ ІС ШАРАЛАРЫ

6.1 Қазбалар аймағы, қорғаныс ғимаратындаға мүмкіндік, өрт сөндіргіш құралдарымен бір өрт сөндіргіш құралы және құм салынған қорап $0,2 \text{ м}^3$ сыйымдылығымен екі қүрегімен әрбір 100 м қазбамен жабдықталады.

6.2 ДЭС жер асты тіреуіші және оған қосылатын қазба кіре берістен ДЭС камерасына дейін 5 м-ге дейін созылып жатқан жанбайтын материалдан болуы тиіс.

Жанар жағар май қоймасы бөлек секцияда орналасады, ДЭС ғимаратынан бөлек 200 мм-ден кем болмайтын жанбайтын қалың материалмен бөлінуі керек.

6.3 ДЭС ғимаратында өрт сөндіру құралы ҚНжЕ-нің 2.04-09 талабына сәйкес болуы қажет.

Аккумуляторлық батарейлерді орындарға орналастыруда батареяларға есеппен екі өрт сөндіргіш құралдары орнатылады, сонымен қатар $0,2 \text{ м}^3$ сыйымдылықтағы құм салынған қорап және екі күрек қойылады.

6.4 Қорғаныс ғимаратында өрт болған жағдайда түтінді сорып алатын желдеткіш жүйесі қарастырылуы тиіс.

Алып тасталатын аяу көлемі төрт реттен кем болмауы тиіс.

6.5 Сорып алатын желдеткіш жүйесінде электрлік жетегі бар саңылаусыз қақпақша орнатылуы керек, ашылуы желдеткіштің қосқышымен бірге ашылуы тиіс.

Бір мезетте желдеткіш қосқышымен сорып алу желдеткіш жүйесі жұмыс жасап тұрған желдеткішпен сөндіріледі және саңылаусыз қақпақшалармен жабылады.

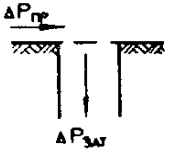
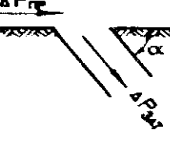
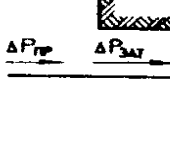
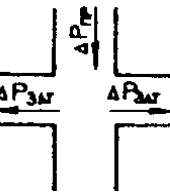
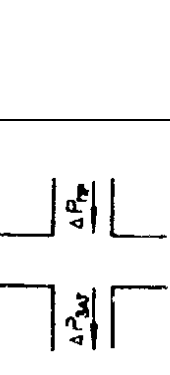
6.6 Қорғаныс ғимаратында өртті сумен қамту жүйесі бар болса онда олардың қызмет шарты орындалуы қажет.

А Қосымшасы

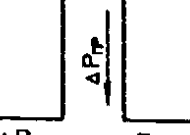
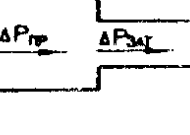
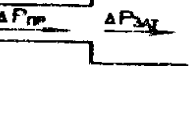
(ақпараттық)

Кзат КОЭФФИЦИЕНТТЕРІНІҢ БОЛУЫЖӘНЕ КотрСОҚПАҚ ҚЫСЫМНЫҢ
КӨРИНҮІЖЕРГІЛІКТІ ҮЙЛЕСІЛМДІК БАРЫСЫНДА ЖӘНЕ ҚАЗБА
ҚИЫЛЫСЫНДАӨЗГЕРУІ

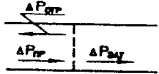
A.1 Кестесі

Бағыт нөмері	Пайда болу шарты	Жергілікті қайшылықтың сипаттамасы	$\frac{\Delta P_{\text{пр}}}{\Delta P_0}$							
			Кзат	$\frac{\Delta P_{\text{пр}}}{\Delta P_0}$	Котр кезінде	1,67	1,00	0,67	0,33	0,17
1		W	1.0	—	0,49	0,57	0,68	0,78	0,96	
			0,8	—	0,45	0,55	0,67	0,76	0,95	
			0,6	—	0,36	0,45	0,63	0,75	0,94	
			0,4	—	0,25	0,32	0,47	0,71	0,93	
			0,2	—	0,14	0,18	0,26	0,41	0,86	
W — бос жабдық ауданынан толық ауданына дейінгі қазбалар										
2		α, басспана	15	—	0,91	0,93	0,94	0,96	0,99	
			45	—	0,75	0,78	0,84	0,89	0,98	
			90	—	0,49	0,57	0,68	0,78	0,96	
			135	—	0,40	0,48	0,60	0,70	0,94	
			175	—	0,32	0,40	0,50	0,60	0,91	
3		β басспана	0	—	1,47	1,53	1,66	1,75	1,95	
			90	—	0,49	0,57	0,68	0,78	0,96	
β — екі аралықта созылышқы ұнғыма осі мен соқпақ толқынның орналасу бұрышы										
4		ε	1.0	0,20	0,20	0,23	0,27	0,30	0,37	
			0,8	0,20	0,24	0,27	0,32	0,36	0,46	
			0,6	0,23	0,28	0,31	0,37	0,41	0,55	
			0,4	0,30	0,34	0,38	0,45	0,52	0,67	
			0,2	0,37	0,43	0,47	0,56	0,67	0,80	
ε — қазбаның көлденең кесінді ауданына қатысы, яғни соқпақ толқынның ағымы, қазбаның көлденең кесінді ауданына соқпақ толқынның қайдан шығатыны										
5		Кзаткесте бойынша анықтайды								
		ε	1.0	0,8	0,6	0,4	0,2			
Кзат										
0,60 0,68 0,76 0,83 0,92										

A.1 Кестесі (жалғасы)

Бағыт нөмері	Пайда болу шарты	Жергілікті қайшылықтың сипаттамасы	$\frac{\Delta P_{\text{пр}}}{\Delta P_0}$						
			Кзат	$\frac{\Delta P_{\text{пр}}}{\Delta P_0}$	Котр кезінде	1,67	1,00	0,67	0,33
6		ε	0,2	1,18	1,18	1,23	1,34	1,39	1,54
			0,4	0,90	0,90	0,94	1,00	1,08	1,20
			0,6	0,78	0,79	0,81	0,85	0,90	0,98
			0,8	0,65	0,65	0,67	0,69	0,73	0,77
			1,0	0,51	0,51	0,53	0,54	0,56	0,60
			1,25	0,48	0,48	0,48	0,49	0,51	0,58
			1,67	0,39	0,39	0,39	0,40	0,44	0,53
			2,5	0,30	0,30	0,30	0,30	0,31	0,40
			5,0	0,16	0,16	0,16	0,16	0,19	0,24
7		ε	0,2	1,20	1,24	1,30	1,42	1,51	1,69
			0,4	1,15	1,17	1,22	1,30	1,37	1,47
			0,6	1,10	1,12	1,14	1,18	1,22	1,30
			0,8	1,06	1,06	1,07	1,08	1,10	1,14
			1,0	1,00	1,00	1,00	1,00	1,00	1,00
8		ε	1.0	1,00	1,00	1,00	1,00	1,00	1,00
			1,25	0,88	0,88	0,88	0,88	0,91	0,96
			1,67	0,70	0,70	0,70	0,71	0,79	0,88
			2,5	0,52	0,52	0,52	0,52	0,60	0,70
			5,0	0,30	0,30	0,30	0,30	0,37	0,48
9		ε	0,2	1,25	1,33	1,40	1,50	1,55	1,69
			0,4	1,15	1,18	1,23	1,34	1,39	1,50
			0,6	1,00	1,03	1,10	1,17	1,20	1,30
			0,8	0,86	0,90	0,94	1,00	1,08	1,18
			1,0	0,75	0,80	0,85	0,90	0,97	1,04
			1,25	0,68	0,70	0,72	0,75	0,80	0,85
			1,67	0,57	0,57	0,58	0,60	0,62	0,69
			2,5	0,48	0,48	0,48	0,49	0,51	0,58
			5,0	0,30	0,30	0,30	0,30	0,37	0,43
			Кысым $\Delta P_{\text{зат1}}$ мына формуламен анықталады: $\Delta P_{\text{зат1}} = \Delta P_0^0 - (\Delta P_{\text{зат}}^0 - \Delta P_{\text{зат}}^1) \varepsilon'$, $\Delta P_{\text{зат}}^0$ - қабылдайды $\Delta P_{\text{зат}}$ 2 бағыты тәуелді; $\Delta P_{\text{зат}}^1 = K_{\text{зат}} \Delta P_{\text{пр}}$ $K_{\text{зат}}$ кесте бойынша қабылдайды						

A.1 Кестесі (жалғасы)

Бағыт нөмері	Пайда болу шарты	Жергілікті қайшылықтың сипаттамасы	$\frac{\Delta P_{np}}{\Delta P_0}$ Кзат Котр кезінде				
			1,67	1,00	0,67	0,33	0,17
10							
		α , қала	$\frac{\Delta P_{np}}{\Delta P_0}$ Кзатаралықта				
			1.67	1,00	0,67	0,33	0,17
		45	0,35	0,40	0,42	0,45	0,46
		90	0,25	0,30	0,35	0,40	0,44
		135	0,22	0,25	0,30	0,37	0,42
		175	0,19	0,22	0,27	0,34	0,40
		Қысым ΔP_{zat2} мына формула бойынша:					
		$\Delta P_{zat2} = \Delta P_{np}(1 - 0,3\psi\varepsilon)$					
		ψ Коэффициент кесте бойынша					
		α , град	45	90	135	175	
		ψ	1	0,68	0,55	0,40	
11		w	$\frac{\Delta P_{np}}{\Delta P_0}$ Кзатаралықта				
			1.67	1,00	0,67	0,33	0,17
		1,0	1,0	1,0	1,0	1,0	1,0
		0,8	0,92	0,92	0,92	0,95	0,98
		0,6	0,69	0,79	0,79	0,88	0,95
		0,4	0,60	0,60	0,60	0,70	0,85
		0,2	0,35	0,35	0,35	0,42	0,53
		w	$\frac{\Delta P_{np}}{\Delta P_0}$ Кзатаралықта				
			1.67	1,00	0,67	0,33	0,17
		1,0	1.0	1,0	1,0	1,0	1,0
		0,8	2.10	1,70	1,58	1,35	1,25
		0,6	2.80	2,30	2,00	1,70	1,50
		0,4	3.40	2,50	2,40	2,00	1,80
		0,2	4.00	3,30	2,90	2,40	2,10

Б ҚОСЫМШАСЫ

(ақпараттық)

**ҚАЗБАЛАР ЖИЕГІНІЦ ЖЫЛЖЫМАЛЫ ҚЫСЫМДА ЖӘНЕ КОЭФИЦЕНТТЕР
ЖИЫНТЫҒЫНЫЦ ӘРТҮРЛІ БЕЙНЕДЕГІ
ТЕПЕ ТЕНДІГІ**

Б.1 Кестесі

Сызбалар кесіндісінің формасы	$\frac{B}{h_b}$	Ниса на номер i	Жылжымалы қысымда және жиынтықтар тепе тендігінің коэффициенттері			Сызбалар кесіндісінің формасы	$\frac{B}{h_b}$	Нис санно мері	Жылжымалы қысымда және жиынтықтар тепе тендігінің коэффициенттер i		
			K_p	K_q	k_{pq}				K_p	K_q	k_{pq}
домалақ	1,0	1	-1,0	+3,0	0	Тікбұрышты күмбез тектес үшорталық (корап тектес)	1,0	1	-0,1	+2,8	0
		2	0	+2,0	+3,5			2	-0,3	+2,2	+2,8
		3	+2,0	0	+3,5			3	+2,5	-0,7	+2,0
		4	+3,0	-1,0	0			1	-1,0	+2,5	0
	1,4					Тікбұрышты күмбез тектес бірорталықты (корап тектес)	1,4	2	-0,3	+2,0	+2,7
								3	+2,7	-0,9	+1,4
тікбұрышты	1,0	1	-0,9	+1,7	0	Тікбұрышты күмбез тектес бірорталықты (корап тектес)	1,0	1	-0,9	+3,1	0
		2	+1,7	-0,9	0			2	+1,0	+1,1	+4,3
		1	-0,9	+1,4	0			3	+2,2	-0,9	+1,0
		2	+2,1	-0,9	0			1	-0,9	+2,8	0
	3,0	1	-0,9	+1,3	0			1,4	+0,8	+1,2	+4,0
		2	+2,4	-0,9	0			2	+2,6	-1,0	+0,4
								3			

В ҚОСЫМШАСЫ

(ақпараттық)

СОЗЫЛУДЫҢ КЕДЕРГІ ТҮРІНІҢ ЕСЕПТІК МАҒЫНАСЫ ЖӘНЕ ҚЫСЫМНЫҢ
СОЗЫЛЫҢҚЫ ЕСЕБІНІҢ ТӘУЕЛДІЛІК КЕСІНДІСІ

B.1 Кесінді

Таудың түрі	Қысым нынкед ергі есебі, R^M_c , МПа	Кедергі есебі, Мпа		Таудың түрі	Қысымның кедергі есебі R^M_c , МПа	Кедергі есебі, МПа	
		созылу R^M_p	кесу			созылу R^M_p	кесу R^M_{cp}
Атылудың және мета морфологиялықтүрі	20-200	0,8-8,0	4,0-40,0	топырақтар			
Аргиллиттер					80-200	2,4-20,0	2,4-16,0
Сырғанаудың дайын айнасы	10-30	0,5-1,0	0,6-3,6	Өсімдіктер қалдықтары мен тегістерде әлсіреуі	50-100 100-200	4,0 4,0	4,0-20,0 6,0-30,0
Бұрыштық қабаттармен	10-30	1,4-3,0	1,8-10,8	Майда өсімдік детриті	50-120	6,0-7,2	5,0-32,4
Алевролиттер					100-200	6,0	10,0-50,0
Сырғанау айнасының бар болуы және бұрыштық қабаттардың өсімдік қалдықтарымен тегісте әлсіреуі	15-50	0.3-1,0	1.0-6,0	Тегістерде әлсіреуі			
				Гипсы	10-40	1,5-4,0	2,0-8,0
	20-50	2,0-3,5	3,5-17,0	Ангидрит	30-60	1,8-3,6	4,0-15,5
				Тұзды түрі	10-40	0,8-3,2	1,5-12,0
				Тас тұзы	20-40	0,8-1,6	3,0-12,0
Майда өсімдік тектес	20-50	4,0-6,0	5,5-27,0	Шаң әгі	2-8	0,3-1,2	0,5-4,0
детритпен				Ескерту. Аралық мағынасы R^M_c ұлғайтылған			
Тегісте әлсіреуі				R^M_p және R^M_{cp} интерполяциясы бойынша анықталады.			

Г ҚОСЫМШАСЫ*(ақпараттық)*

**КЕНТИРЕКТЕР АРАЛЫҚ КАМЕРАСЫНЫҢ ЖӘНЕ ҮНТАҚТАУ
КАМЕРАСЫНЫҢ ҚАБІЛЕТІН ӘКЕЛЕТІН КОЭФИЦИЕНТТЕР МАҒЫНАСЫ**

Г.1 Кестесі

Таудың түрлері	Ккр	Кц	Таудың түрлері	Ккр	Кц
Атқылаудың және метаморфикалық			Кристаллдық әк	1,0	1,4
орташабұзушылықсыза ттардың арасында 0,5 дан1 м-ге дейін	2,0	2.1	Бұрыштық кен орны	2,8	1.8
Әлсіз бұзушылық сизаттардың арасында1 м-ден жоғары	1,6	2,3	көпжылдықмұздау	1,0	1.0
Гипстер	1,4	2,3	Жанғышқатпарлы тас	1,8	1.4
			тұзды	1.4	1,6
			Тасты тұз	4,0	3,0
			Шанды әк (ұлутастар)	1,0	3,0

БИБЛИОГРАФИЯ

- [1] СНиП 11-11-77 Азаматтық қорғаныстың қорғаныс ғимараты.
- [2] СНиП II-94-80 Жерасты тау қазбалары.

ӘӨЖ 614.8

МСЖ 73.020

Негізгі сөздер: азаматтық қорғаныстың қорғаныс ғимараты, жерасты тау қазбалары, жерасты желдектіш ғимараттар

СОДЕРЖАНИЕ

ВВЕДЕНИЕ.....	IV
1 ОБЛАСТЬ ПРИМЕНЕНИЯ.....	1
2 НОРМАТИВНЫЕ ССЫЛКИ.....	1
3 ТЕРМИНЫ И ОПРЕДЕЛЕНИЯ.....	2
4 ПРИЕМЛЕМЫЕ СТРОИТЕЛЬНЫЕ РЕШЕНИЯ ДЛЯ ПРОЕКТИРОВАНИЯ СООРУЖЕНИЙ ГРАЖДАНСКОЙ ОБОРОНЫ В ПОДЗЕМНЫХ ГОРНЫХ ВЫРАБОТКАХ.....	2
4.1 Объемно-планировочные решения сооружений и защищенных входов объектов гражданской обороны.....	2
4.2 Основные расчетные положения.....	3
4.3 Нагрузки от ударной волны затекания.....	4
4.4 Методы расчетов защитных конструкций и конструктивных элементов выработок.....	6
5 ИНЖЕНЕРНО-ТЕХНИЧЕСКОЕ ОБОРУДОВАНИЕ	19
6 ПРОТИВОПОЖАРНЫЕ МЕРОПРИЯТИЯ	23
ПРИЛОЖЕНИЕ А (<i>информационное</i>) Коэффициенты затекания $K_{зат}$ отражения $K_{отр}$ ударной волны при местных изменениях конфигурации и сечения выработок.....	25
ПРИЛОЖЕНИЕ Б (<i>информационное</i>) Коэффициенты концентрации тангенциальных и сдвиговых напряжений на контуре выработок различного очертания.....	28
ПРИЛОЖЕНИЕ В (<i>информационное</i>) Значения расчетных сопротивлений пород растяжению и срезу в зависимости от их расчетного сопротивления сжатию.....	29
ПРИЛОЖЕНИЕ Г (<i>информационное</i>) Значения коэффициентов несущей способности потолочины камер и междукамерных целиков	30
БИБЛИОГРАФИЯ.	31

ВВЕДЕНИЕ

Настоящий свод правил является нормативным документом, действующим на территории Республики Казахстан в рамках системы технического нормирования строительной отрасли по обеспечению безопасности зданий и сооружений, и разработан в развитие требований строительных норм СН РК 2.03-06 «Защитные сооружения гражданской обороны в подземных горных выработках» и технического регламента Республики Казахстан «Требования к безопасности зданий и сооружений, строительных материалов и изделий».

ҚАЗАҚСТАН РЕСПУБЛИКАСЫНЫҢ ЕРЕЖЕЛЕР ЖИНАФЫ

СВОД ПРАВИЛ РЕСПУБЛИКИ КАЗАХСТАН

**ЗАЩИТНЫЕ СООРУЖЕНИЯ ГРАЖДАНСКОЙ ОБОРОНЫ В ПОДЗЕМНЫХ
ГОРНЫХ ВЫРАБОТКАХ**

CIVIL DEFENSE STRUCTURES IN UNDERGRAUND MINE WORKINGS

Дата введения 2015-07-01

1 ОБЛАСТЬ ПРИМЕНЕНИЯ

1.1 Настоящий свод правил распространяется на проектирование строительства, реконструкции, технического перевооружения защитных сооружений гражданской обороны (убежищ и противорадиационных укрытий), размещаемых в подземных горных выработках и направлен на защиту жизни, здоровья граждан от чрезвычайных ситуаций, возникающих в мирное и военное время независимо от причины их происхождения.

1.2 Настоящий свод правил не распространяется на проектирование защитных сооружений гражданской обороны, не размещаемых в подземных горных выработках.

2 НОРМАТИВНЫЕ ССЫЛКИ

Для применения настоящего свода правил необходимы следующие ссылочные нормативные документы:

Технический регламент «Требования к безопасности процессов разработки рудных, нерудных и россыпных месторождений подземным способом», утвержден постановлением Правительства Республики Казахстан от 25 декабря 2009 года № 2207.

Технический регламент «Требования к безопасности зданий и сооружений, строительных материалов и изделий», утвержден постановлением Правительства Республики Казахстан от 17 ноября 2010 года № 1202.

СН РК 2.03-06-2012 Защитные сооружения гражданской обороны в подземных горных выработках.

СНиП РК 2.04-09-2002 Защитные сооружения гражданской обороны.

ПРИМЕЧАНИЕ: При пользовании настоящими строительными нормами целесообразно проверить действие ссылочных нормативных документов на Территории Республики Казахстан, в том числе по перечням фонда нормативных правовых актов, Указателям нормативных документов по стандартизации Республики Казахстан и межгосударственных нормативных документов по стандартизации, ежегодно издаваемым по состоянию на 01 января текущего года, и по соответствующим информационным указателям, опубликованным в текущем году. Если ссылочный документ заменен (изменен), то при пользовании настоящими нормами следует руководствоваться замененным (измененным) стандартом. Если ссылочный документ отменен без замены, то положение, в котором дана ссылка на него, применяется в части, не затрагивающей эту ссылку.

3 ТЕРМИНЫ И ОПРЕДЕЛЕНИЯ

В настоящем своде правил использованы термины с соответствующими определениями, приведенные в СН РК 2.03-06.

4 ПРИЕМЛЕМЫЕ СТРОИТЕЛЬНЫЕ РЕШЕНИЯ ДЛЯ ПРОЕКТИРОВАНИЯ СООРУЖЕНИЙ ГРАЖДАНСКОЙ ОБОРОНЫ В ПОДЗЕМНЫХ ГОРНЫХ ВЫРАБОТКАХ

4.1 Объемно-планировочные решения сооружений и защищенных входов объектов гражданской обороны

4.1.1 Основные требования по объемно-планировочным решениям защитных сооружений в подземных горных выработках приведены в СН РК 2.03-06.

При проектировании защитных сооружений необходимо применить рациональные объемно-планировочные проектные решения, позволяющие предусмотреть достаточные площади для размещения людей, емкостей для хранения запасов питьевой воды, склада продовольствия, оборудования санитарных узлов, медицинских пунктов (санитарных постов). Предусмотреть площади для размещения пункта управления, вентиляционного оборудования и автономного источника электроснабжения.

4.1.2 В защитных сооружениях предусматривается 100% обеспечение местами для лежания детей до 11 лет, кормящих и беременных женщин и престарелых. Для остальных укрываемых предусматривается 75 % мест для сидения и 25 % — для лежания.

4.1.3 Выработки следуют оборудовать: при углах наклона от 7 до 15° — перилами, выше 15 до 30° — сходнями со ступеньками и перилами, выше 30 до 45° — лестницами с перилами, выше 45° — лестничными отделениями.

4.1.4 Санитарные узлы проектируются раздельно для мужчин и женщин из расчета одно очко на 75 человек и один умывальник на 200 человек, но не менее одного на санитарный узел.

4.1.5 В защитных сооружениях следует предусматривать санитарные посты из расчета один санитарный пост площадью 2 м² на каждые 500 укрываемых, но не менее одного на защитное сооружение.

При численности укрываемых выше 1000 человек в защитном сооружении кроме санитарных постов предусматривается медицинский пункт с изолятором общей площадью до 25 м².

4.1.6 Пункт управления объекта в подземном защитном сооружении следует проектировать общей площадью рабочей комнаты и комнаты связи допускается увеличивать до 30 м², от требуемого норматива.

4.1.7 При необходимости для размещения вентиляционного оборудования допускается предусматривать расширение выработок или сооружение специальных, как правило, тупиковых выработок (камер).

4.1.8 Допускается при соответствующем обосновании использовать автономные источники электроснабжения, устанавливаемые в убежищах на поверхности.

4.1.9 Накопитель укрываемых должен соединяться с используемым для спуска в убежище стволов галереей длиной 2-3 м и сечением 1,2х2 м.

Площадь накопителя, включая соединительную галерею, следует принимать из расчета кратковременного размещения укрываемых работающей на поверхности смены по норме 0,15 м² на человека.

4.1.10 Входы в убежище и аварийные выходы устраиваются в зависимости от мощности убежища, определяемой по численности, допускаемых к размещению укрываемых людей.

Вход в накопитель оборудуется тамбуром-шлюзом. Площадь тамбура-шлюза и ширину дверей в нем принимают в соответствии с требованиями [1], предъявляемыми к тамбурам-шлюзам убежищ гражданской обороны.

4.1.11 Для спуска укрываемых могут быть использованы технологические стволы небольшого сечения (до 7 м²) или специально пробуренные шурфы диаметром не менее 1,2 м.

4.2 Основные расчетные положения

4.2.1 Конструктивные решения горных выработок, приспосабливаемых под убежища, аварийные выходы на поверхность земли должны быть рассчитаны на нагрузки с учетом сочетания нагрузки от воздействий сейсмовзрывных волн и статических нагрузок от горного давления.

Защитные конструкции (перемычки, двери, ставни, расширительные камеры) следует рассчитывать на нагрузки от воздействия ударной волны затекания.

Перемычки, кроме того, должны быть рассчитаны на нагрузки от давления горных пород.

4.2.2 Расчет защитных конструкций должен производиться по предельному состоянию первой группы.

Конструкции защитных перемычек следует рассчитывать с учетом упругопластических деформаций; защитно-герметические и герметические перемычки и двери, а также ставни и расширительные камеры, следует рассчитывать в упругой стадии.

Коэффициент перегрузки к эквивалентным статическим нагрузкам следует принимать равным единице, а к остальным нагрузкам — в соответствии с требованиями [3].

4.2.3 Внутренние усилия в элементах защитных конструкций (изгибающие моменты, продольные и поперечные силы) следует определять по методам строительной механики.

4.2.4 Расчет устойчивости незакрепленных выработок, приспосабливаемых под защитные сооружения, следует выполнять по предельному состоянию первой группы.

В незакрепленных выработках расчету на устойчивость подлежат следующие конструктивные элементы:

- породы на контуре протяженных выработок;
- потолочины в камерных выработках;
- междукамерные целики.

Закрепленные выработки в убежищах на первом этапе следует рассчитывать как незакрепленные. В тех случаях, когда породы на контуре этих выработок оказываются неустойчивыми, производят расчеты устойчивости крепи на нагрузки от действия вывала

породы. Крепи, плотно связанные с породой (прибетонированные), следует рассчитывать, кроме того, на нагрузки от действия сейсмовзрывных волн.

В противорадиационных укрытиях устойчивость выработок, закрепленных монолитными, рамными и анкерными крепями, должны устанавливать путем их обследования, и проверки сохранности крепи.

4.2.5 Статические нагрузки и усилия в крепи от горного давления следует определять в соответствии с требованиями [3]. Методика определения внутренних усилий в крепи от действия сейсмовзрывных волн приведена в подразделе 4.3.5.

4.2.6 Расчетные динамические сопротивления материалов при расчете защитных конструкций и крепи следует принимать в соответствии с требованиями [2].

4.3 Нагрузки от ударной волны затекания

4.3.1 Давление во фронте ударной волны, затекающей в выработки с поверхности, а также за местными сопротивлениями выработок (изменение конфигурации выработки в виде поворота, пересечения, расширения или сужения, частичного заполнения сечения оборудованием и т.п.) $\Delta P_{\text{зат}}$, МПа (kgs/cm^2), следует определять по формуле:

$$\Delta P_{\text{зат}} = K_{\text{зат}} \Delta P_{\text{пр}} \quad (1)$$

где $K_{\text{зат}}$ — коэффициент затекания, принимаемый по приложению А;

$\Delta P_{\text{пр}}$ — давление во фронте проходящей ударной волны перед местным сопротивлением, МПа (kgs/cm^2).

4.3.2 Давление во фронте ударной волны в конце прямолинейного участка выработки длиной x , равной или больше $10d$ и диаметром, равным или меньше 8м, $\Delta P_{\text{пр}(x)}$ МПа (kgs/cm^2), определять по формуле:

$$\Delta P_{\text{пр}(x)} = \Delta P_{\text{зат}} \Phi_x^{-1} e^{-K_3 \frac{x}{Rr}} \quad (2)$$

где Φ_x — коэффициент, учитывающий одномерное расширение ударной волны;

e — основание натуральных логарифмов;

K_3 — коэффициент затухания, принимаемый по таблице 1;

x — длина участка выработки, м;

Rr — гидравлический радиус выработки, равный отношению площади поперечного сечения к периметру выработки, м;

d — эквивалентный диаметр выработки, равный отношению учетверенной площади поперечного сечения к периметру выработки, м.

Таблица 1- Коэффициент затухания

Коэффициент аэродинамического сопротивления выработки δ даПа c^2/m^2 ($kg \cdot c^2/m^4$)	K_3
От $1 \cdot 10^{-4}$ до $4 \cdot 10^{-4}$	0,0005
Св. $4 \cdot 10^{-4}$ до $8 \cdot 10^{-4}$	0,001
Св. $8 \cdot 10^{-4}$ до $20 \cdot 10^{-4}$	0,002
Св. $20 \cdot 10^{-4}$ до $35 \cdot 10^{-4}$	0,003
Св. $35 \cdot 10^{-4}$ до $50 \cdot 10^{-4}$	0,004

4.3.3 Динамическую нагрузку на преграду (перемычку) принимать равной:

- давлению во фронте проходящей ударной волны при расположении преграды параллельно направлению распространения ударной волны;
- давлению отражения ударной волны при расположении преграды перпендикулярно направлению распространения ударной волны. Давление отражения ударной волны $\Delta P_{\text{отр}}$ определяется по формулам:

$$\Delta P_{\text{отр}} = 2\Delta P_{\text{пп(х)}} + \frac{6\Delta P_{\text{пп(х)}}^2}{\Delta P_{\text{пп(х)}} + 0,72} \text{ (МПа);} \quad (3)$$

где $\Delta P_{\text{пп(х)}}$ — Давление во фронте проходящей ударной волны затекания в месте установки преграды, МПа (kgf/cm^2)

4.2.4 Эквивалентную статическую нагрузку $P_{\text{экв}}$, МПа (kgf/cm^2), от ударной волны затекания на элементы защитных конструкций следует определять по формуле:

$$P_{\text{экв}} = \Delta P_{\text{макс}} K_d, \quad (4)$$

где $\Delta P_{\text{макс}}$ — максимальное давление ударной волны (динамическая нагрузка) на рассчитываемый элемент, МПа (kgf/cm^2).

K_d — коэффициент динамичности, принимаемый равным: 1,3 — при расчете конструкций в стадии упругопластических деформаций; 1,8 — при расчете конструкций в упругой стадии.

4.2.5 Максимальную смещающую силу $P_{\text{см}}$ от действия ударной волны затекания на конструктивные элементы лестничных отделений и армировки в стволах следует определять по формулам:

$$P_{\text{см}} = C_x \Delta P_{\text{сж}} S_m \quad (5)$$

где C_x — коэффициент лобового сопротивления элемента, принимаемый по СНиП 11-11-77;

S_m — наибольшая площадь сечения элемента плоскостью, перпендикулярной направлению распространения ударной волны затекания (миделево сечение), m^2 ;

$\Delta P_{ск}$ — скоростной напор, определяемый по формулам:

$$\Delta P_{ск} = \frac{2,5 \Delta P_{np(x)}^2}{\Delta P_{np(x)} + 0,72} \text{ (МПа);} \quad (6)$$

4.4 Методы расчетов защитных конструкций и конструктивных элементов выработок

4.4.1 Расчет объема выработки примыкающей к убежищу

4.4.1.1 В убежищах на объектах, подверженных опасному воздействию сильнодействующих ядовитых веществ (СДЯВ), загазованности окисью углерода и углекислым газом при пожарах на поверхности, внутренний объем приспособляемых выработок должен быть из расчета 5 м на одного укрываемого. В этом случае внутренний объем каждой примыкающей к убежищу выработки (m^3), в которую воздух под действием естественной тяги вытекает из убежища, до ближайшего узла вентиляционной сети должен быть равным не менее $\frac{800m_n}{m_b}$ (m_n, m_b — число примыкающих к убежищу выработок, соответственно с поступающей в убежище и вытекающей из него струей воздуха при естественной вентиляции).

Ожидаемую и допустимую концентрации окиси углерода и углекислого газа в районе воздухоподающих стволов и штолен определять в соответствии с требованиями [2].

4.4.1.2 В защитных сооружениях следует предусматривать 100 %-ное обеспечение местами для лежания детей до 11 лет, кормящих и беременных женщин и престарелых. Для остальных укрываемых следует предусматривать 75 % мест для сидения и 25 % — для лежания.

Места для сидения и лежания следует оборудовать в соответствии с требованиями [2].

4.4.1.3 Выработки, предназначаемые для передвижения укрываемых пешком, должны быть оборудованы: при углах наклона от 7 до 15° - перилами, свыше 15 до 30° - сходнями со ступеньками и перилами, свыше 30 до 45° - лестницами с перилами, свыше 45° лестничными отделениями.

4.4.1.4 Площадь склада продовольствия следует принимать в соответствии с требованиями [2].

4.4.1.5 Накопитель укрываемых должен соединяться с используемым для спуска в убежище стволом галереей длиной 2 - 3 м и сечением 1,2x2 м.

Площадь накопителя, включая соединительную галерею, следует принимать из расчета кратковременного размещения укрываемых, работающей на поверхности смены по норме 0,15 m^2 на человека.

Накопитель и ствол (шурф) должны быть защищены от воздействия поражающих факторов ядерного оружия в соответствии со степенью защиты убежища.

4.4.1.6 Места для хранения зараженной одежды следует предусматривать перед входами в защитные сооружения.

4.4.2 Расчет устойчивости пород на контуре протяженных выработок

4.4.2.1 Устойчивость пород на контуре протяженных выработок, приспособляемых под убежища, следует определять из выражений:

$$\begin{aligned} & \{(1,1\sigma_a + \sigma_{cz})(\cos^2\alpha + \xi\sin^2\alpha) + \sigma_{cx}(\sin^2\alpha + \\ & + \xi\cos^2\alpha)\}\hat{E}_\delta + [\xi(1,1\sigma_a + \sigma_{cz} + \sigma_{cx})]K_q\frac{1}{K_y} + \\ & + \sigma_0[K_p(\cos^2\alpha + \xi\sin^2\alpha) + \xi K_q] \leq R_{c(p)}^i; \end{aligned} \quad (7)$$

$$\begin{aligned} & \{(1,1\sigma_a + \sigma_{cz})(\cos^2\alpha + \xi\sin^2\alpha) + \xi\sigma_{cx}\}\hat{E}_\delta + \\ & [(\sigma_{cx} + [\xi(1,1\sigma_a + \sigma_{cz})]K_q)\frac{1}{K_y} + \sigma_0[K_p(\cos^2\alpha + \\ & + \xi\sin^2\alpha) + \xi K_q] \leq R_{c(p)}^i; \end{aligned} \quad (8)$$

где σ_B — давление, задаваемое в проектном задании, МПа (kgs/cm^2);
 σ_{cz} , σ_{cx} — давления, МПа (kgs/cm^2), определяемые по формулам:

$$\sigma_{cz} = A U_{cz}; \quad (9)$$

$$\sigma_{cx} = A U_{cx}, \quad (10)$$

где A — акустическое сопротивление пород, определяемое по таблице 2, МПа \cdot с/м ($\text{kgs} \cdot \text{s}/\text{cm}^3$);

U_{cz} , U_{cx} — соответственно вертикальная и горизонтальная составляющие массовой скорости, задаваемые проектным заданием;

α — угол наклона выработки к горизонту, град;

ξ — коэффициент бокового давления пород, определяемый по формуле:

$$\xi = \frac{v}{1-v}, \quad (11)$$

где v — коэффициент Пуассона, определяемый по данным экспериментальных измерений;

K_p , K_q — коэффициенты концентрации тангенциальных напряжений на контуре выработок соответственно от вертикальных и горизонтальных нагрузок, принимаемые по приложению Б;

K_d — коэффициент динамического упрочнения пород, принимаемый равным: 1,0 - для соляных пород, гипсов и пильных известняков; 1,3 и 1,5 - для других пород в условиях действия соответственно сжимающих и растягивающих напряжений;

σ_0 — вертикальное давление толщи пород, определяемое по формулам:

$$\sigma_0 = 10^{-3} \gamma H_p (\text{МПа}); \quad (12)$$

$$\sigma_0 = 10^{-4} \gamma H_p (\text{кгс}/\text{см}^2), \quad (12a)$$

где γ - средняя величина удельного веса толщи пород над выработкой, $\text{kH}/\text{м}^3$ ($\text{кгс}/\text{м}^3$);

H_p - расчетная глубина расположения выработки, м, принимаемая в соответствии с требованиями [3];

$R_{c(p)}^m$ - расчетное сопротивление породы сжатию или растяжению, МПа ($\text{кгс}/\text{см}^2$), формула 13. Положительный знак левой части формул (7) и (8) указывает на наличие сжимающих напряжений, отрицательный - на наличие растягивающих напряжений.

4.4.2.2 Расчетное сопротивление пород (массива) сжатию R_c^m следует определять в соответствии с требованиями [3], растяжению R_p^m при отсутствии конкретных данных - приложения В.

Таблица 2 - Акустическое сопротивление пород

Горные породы	Расчетное сопротивление пород (массива сжатию) R_c^m		Акустическое сопротивление пород, А	
	МПа	кгс/см	МПа • с/м	к гс • с/см ³
Гипсы и соляные породы	10	100	8	0,8
	40	400	12	1,2
Пильные известия ки (ракушечники)	2	20	3	0,3
	5	50	5	0,5
	10	100	7	0,7
Песчано-алевролито-аргиллитовые	10	100	6	0,6
	30	300	8	0,8
	50	500	10	1,0
	100	1000	14	1,4
	150	1500	16	1,6
Изверженные и метаморфические	20	200	10	1,0
	50	500	12	1,2
	100	1000	15	1,5
	200	2000	20	2,0

4.4.2.3 Устойчивость пород на контуре протяженных выработок, приспособляемых под противорадиационные укрытия, следует определять из выражения:

$$\sigma_0 [K_p (\cos^2 \alpha + \xi \sin^2 \alpha) + \xi K_q] \leq R_{c(p)}^m \quad (13)$$

4.4.3 Расчет эквивалентной статической нагрузки на крепь протяженных выработок от действия вывала породы.

4.4.3.1 Эквивалентную статическую нагрузку на крепь выработок, приспособляемых под убежища, от действия вывала породы $R_{\text{экв}}^{\text{kp(st.)}}$ МПа (kgf/cm^2), определяют по формулам:

в кровле выработки

$$R_{\text{экв}}^{\text{kp(st.)}} = 1,1(q_{\text{выв}} + q_k)(\cos \alpha + \eta_{\text{kp}}); \quad (14)$$

в стенах выработки

$$R_{\text{экв}}^{\text{kp(st.)}} = 1,1(q_{\text{выв}} + q_k)\eta_{\text{ст}}. \quad (15)$$

где $q_{\text{выв}}$ — давление от веса вывала породы, определяемое по формулам:

$$q_{\text{выв}} = 10^{-3}\gamma h_{\text{выв}} \quad (\text{МПа}); \quad (16)$$

$$q_{\text{выв}} = 10^{-4}\gamma h_{\text{выв}} \quad (\text{kgf/cm}^2), \quad (16a)$$

где $h_{\text{выв}}$ — высота вывала породы, м;

q_k — давление от веса крепи, МПа (kgf/cm^2);

$\eta_{\text{kp}}, \eta_{\text{ст}}$ — безразмерные коэффициенты перегрузки соответственно со стороны кровли и стенок выработки, определяемые по формулам:

$$\eta_{\text{kp}} = \frac{U_{cz} \cos \alpha + U_{cx} \sin \alpha}{5,3 \tau_h} \quad (17)$$

$$\eta_{\text{ст}} = \frac{U_{cx}}{5,3 \tau_h} \quad (18)$$

где τ_h — время, с, задаваемое проектным заданием.

4.4.3.2 Высоту (толщину) вывала породы в выработке $h_{\text{выв}}$ определяется по формуле:

$$h_{\text{выв}} = 0,3B(1 - \frac{R_{\text{c(p)}}^m}{\sigma_{\text{max}}}), \quad (19)$$

где B — пролет выработки, м;

σ_{max} — максимальное напряжение, МПа ($\text{кгс}/\text{см}^2$), равное наибольшему значению из величин левой части выражений (7) и (8).

4.4.3.3 Для выработок, пройденных буровзрывным способом, $h_{выб}$ следует увеличивать на $0,2 B$.

Усилия в крепи выработок от действия вывала породы определяются по правилам строительной механики.

4.4.4 Расчет устойчивости потолочины и между камерных целиков в камерных выработках.

4.4.4.1 В камерных выработках, приспособляемых под убежища, устойчивость потолочины, если ее толщина меньше или равна удвоенной величине пролета камеры ($h_{\pi} \leq 2l$), определять на срез, растяжение и сжатие из выражений:

на срез

$$\frac{0,6l}{h_i} \left\{ \left(\frac{1,1\sigma_a + \sigma_{cz} + \xi\sigma_{cx}}{K_y} + \sigma_{0(i)} + \sigma_{0(r)} \right) - \left[\frac{\xi(1,1\sigma_a + \sigma_{cz}) + \sigma_{cx}}{K_y} + \sigma_{0(i)} + \right. \right. \\ \left. \left. + \xi\sigma_{0(r)} \right] \right\} \leq R_{n\delta}; \quad (20)$$

на растяжение

$$\frac{(l^2 + l_{i\delta}^2)}{2h_i^2} \left\{ \left(\frac{1,1\sigma_a + \sigma_{cz} + \xi\sigma_{cx}}{K_y} + \sigma_{0(i)} + \sigma_{0(r)} \right) - \right. \\ \left. - \left(1 + \frac{h_k}{2h_i} \right) \left[\frac{\xi(1,1\sigma_a + \sigma_{cz}) + \sigma_{cx}}{K_y} + \sigma_{0(i)} + \right. \right. \\ \left. \left. + \xi\sigma_{0(r)} \right] \right\} \leq R_{\delta}; \quad (21)$$

на сжатие

$$\frac{(l^2 + l_{i\delta}^2)}{2h_i^2} \left\{ \left(\frac{1,1\sigma_a + \sigma_{cz} + \xi\sigma_{cx}}{K_y} + \sigma_{0(i)} + \sigma_{0(r)} \right) - \right. \\ \left. - \left(1 + \frac{h_k}{2h_i} \right) \left[\frac{\xi(1,1\sigma_a + \sigma_{cz}) + \sigma_{cx}}{K_y} + \sigma_{0(i)} + \right. \right. \\ \left. \left. + \xi\sigma_{0(r)} \right] \right\} \leq R_c; \quad (22)$$

где l — пролет камеры, м;

h_k — высота камеры, м;

h_{π} — толщина потолочины, м;

f — стрела подъема свода, м;

R_c^m — расчетное сопротивление пород (массива) срезу, МПа ($\text{кгс}/\text{см}^2$), принимаемое при отсутствии конкретных данных по приложению В;

$\sigma_{0(m)}$, $\sigma_{0(n)}$ — вертикальные давления соответственно слоя мягких грунтов и пород потолочины, определяемые по формулам:

$$\sigma_{0(m)} = 10^{-3} \gamma_m h_m (\text{МПа}); \quad (23)$$

$$\sigma_{0(n)} = 10^{-3} \gamma_n h_n (\text{МПа}); \quad (24)$$

где γ_m , h_m — средний удельный вес соответственно слоя мягких грунтов и пород потолочины, $\text{kH}/\text{м}^3$;

h_m — толщина слоя мягких грунтов, м;

$l_{\text{пр}}$ — ширина просечки (сбойки), м.

4.4.4.2 В камерных выработках, приспособляемых под убежища, устойчивость потолочины, если ее толщина больше удвоенной величины пролета камеры ($h_n > 2l$), определять на изгиб из выражений:

в случае $q_{\text{зак}} < 0,1 R_c$

$$K_{\text{kp}}(1+K_n)P_n + \frac{1,1\sigma_b + \sigma_{cz} + \xi\sigma_{cx}}{K_y} \leq R_i^m \quad (25)$$

в случае $0,1 R_c < q_{\text{зак}} < 0,8 R_c$

$$\frac{K_{\text{kp}}(1+K_n)P_n}{1 - \frac{q_{\text{зак}}}{R_c}} + \frac{1,1\sigma_b + \sigma_{cz} + \xi\sigma_{cx}}{K_y} \leq R_i^m, \quad (26)$$

где $q_{\text{зак}}$ — закрепляющая нагрузка, МПа ($\text{кгс}/\text{см}^2$), определяемая по формуле:

$$q_{\text{зак}} = \frac{q_0 S_{\text{kp}}}{F_u} \quad (27)$$

где S_{kp} — площадь кровли, приходящаяся на один целик, м^2 ;

F_u — площадь поперечного сечения целика, м^2 ;

R_c — среднее значение сопротивления пород в образце одноосному сжатию, устанавливаемое по результатам экспериментальных измерений, МПа;

K_{kp} — коэффициент несущей способности потолочины, принимаемый при отсутствии конкретных данных по приложению Г;

K_n — коэффициент пригрузки, принимаемый равным:

0,5 — для пород с четко выраженной слоистостью;

0,35 — для среднеслоистых пород;

0,2 — малослоистых;

$K_{\pi} = 0$ — для неслоистых пород;

P_{π} — приведенное вертикальное давление пород нижнего несущего слоя потолочины, определяемое по формулам:

$$P_{\pi} = 10^{-3} \gamma_{h,c} \frac{l^2 + l_{np}^2}{2h_{h,c}} \text{ (МПа);} \quad (28)$$

где $\gamma_{h,c}$ — средний удельный вес пород нижнего несущего слоя, кН/м³;

$h_{h,c}$ — толщина пород нижнего несущего слоя, м;

R_i^m — расчетное сопротивление пород (массива) изгибу, принимаемое при отсутствии конкретных данных равным $R_i^m = 0,3 R_c^m$ [R_c^m — расчетное сопротивление пород (массива) сжатию].

При $q_{зак} \geq 0,8R_c$ расчет потолочины на устойчивость не производится. Потолочина в этом случае считается неустойчивой от действия статических нагрузок.

4.4.4.3 Устойчивость междукамерных целиков в убежищах определяется из выражений:

Ленточных

$$\frac{\frac{K_{\pi} K_h \sigma_0 (b_{\pi} + l)}{K_{\phi} b_{\pi}} +}{\frac{K_{\sigma}^p (\sigma_b + \sigma_{cz}) + K_{\sigma}^p \xi \sigma_{cz}}{K_y}} \leq R_c^m; \quad (29)$$

столбчатых

$$\frac{\frac{K_{\pi} K_h \sigma_0 (b_{\pi} + l)(l_{\pi} + l_{np})}{K_{\phi} b_{\pi} l_{\pi}} +}{\frac{K_{\sigma}^p (\sigma_b + \sigma_{cz})}{K_y}} \leq R_c^m \quad (30)$$

где K_{π} — коэффициент несущей способности целика, принимаемый при отсутствии экспериментальных данных по приложению Г;

K_h — коэффициент, принимаемый равным:

0,5 при $L < H$ — для целиков с прослойками слабых пород;

0,7 " $L < -H$ — для однородных целиков;

1,0 " $L > Я$ — для всех целиков (L , H — соответственно ширина и глубина расположения отработанного пространства шахтного поля, м);

b_{π}, l_{π} — соответственно ширина и длина целика, м;

K_{ϕ} — коэффициент, принимаемый равным: для средне- и сильнотрещиноватых пород:

$$0,6 + 0,4 \frac{b_{\text{ц}}}{h_{\text{ц}}} \text{ при } 0,3 \leq \frac{b_{\text{ц}}}{h_{\text{ц}}} \leq 1; \quad \frac{b_{\text{ц}}}{h_{\text{ц}}} " \quad 1 < \frac{b_{\text{ц}}}{h_{\text{ц}}} \leq 4; \quad (31)$$

для слаботрещиновых пород:

$$K_{\phi} = \left(\frac{b_{\text{ц}}}{h_{\text{ц}}} \right)^{0.5} \quad .(32)$$

для сланцевых пород:

$$K_{\phi} = 0,7 + 0,3 \frac{b_{\text{ц}}}{h_{\text{ц}}}; \quad .(33)$$

($h_{\text{ц}}$ - высота целика, м)

$K_{\sigma}^p, K_{\sigma}^q$ - коэффициент взаимодействия с целиками волны сжатия и эпицентральных сейсмических волн, принимаемые для ленточных целиков по таблице 3 и 4; для столбчатых целиков коэффициенты K_{σ}^p и K_{σ}^q принимаются равными 0,85 от этих же коэффициентов для ленточных целиков.

Таблица 3 - Коэффициент взаимодействия с целиками волны сжатия и эпицентральных сейсмических волн

Отношение высоты целика к пролету камеры($h_{\text{ц}}/l$)	Значения коэффициента K_{σ}^p при числе ленточных целиков			
	2	5	10	≥ 15
0,3	2,7	3,2	3,7	4,0
0,5	2,4	2,9	3,4	3,7
0,7	2,2	2,7	3,1	3,4
1,0	2,1	2,5	2,9	3,1
2,0 и более	2,0	2,4	2,7	2,9

Таблица 4 - Значения коэффициента K_q^p при коэффициенте Пуассона горных пород

Отношение высоты целика к пролету камеры(h_n/l)	Значения коэффициента K_q^p при коэффициенте Пуассона горных пород					
	0,10	0,15	0,20	0,25	0,30	0,35
0,3	0,4	0,6	0,8	1,0	1,2	1,4
0,5	0,3	0,5	0,7	0,9	1,1	1,3
0,7	0,2	0,4	0,6	0,8	1,0	1,2
1,0	0,1	0,3	0,5	0,7	0,9	1,1
2,0 и более	0,1	0,2	0,4	0,6	0,8	1,0

4.4.4.4 В камерных выработках, приспособляемых под противорадиационные укрытия, устойчивость потолочины при условии $h_n \leq 2l$ определять из выражений:

на срез

$$\frac{0,6l}{h_n + f} [(\sigma_{0(m)} + \sigma_{0(n)}) - (\sigma_{0(m)} + \xi \sigma_{0(n)})] \leq R_{cp}^m; \quad (34)$$

на растяжение

$$\begin{aligned} \frac{l^2 + l_{np}^2}{2h_n^2} [(\sigma_{0(m)} + \sigma_{0(n)}) - \left(1 + \frac{h_k}{2h_n}\right) \\ (\sigma_{0(m)} + \xi \sigma_{0(n)})] \leq R_p^m \end{aligned} \quad (35)$$

на сжатие

$$\begin{aligned} \frac{l^2 + l_{np}^2}{2h_n^2} [(\sigma_{0(m)} + \sigma_{0(n)}) + \left(1 + \frac{h_k}{2h_n}\right) \\ (\sigma_{0(m)} + \xi \sigma_{0(n)})] \leq R_c^m \end{aligned} \quad (36)$$

4.4.4.5 В камерных выработках, приспособляемых под противорадиационные укрытия, устойчивость потолочины при условии $h_n > 2l$ определять из выражений:

в случае $q_{зак} < 0,1 R_c$

$$K_{kp}(1 + K_n) P_n \leq R_i^m; \quad (37)$$

в случае $0,1 R_c < q_{зак} < 0,8 R_c$

$$\frac{K_{kp}(1+K_n)P_n}{1 - \frac{q_{zak}}{R_c}} \leq R_i^m; \quad (38)$$

При $q_{zak} \geq 0,8 R_c$ расчет потолочины на устойчивость не производится. Потолочина камеры в этом случае считается неустойчивой.

4.4.4.6 Устойчивость междукамерных целиков в противорадиационных укрытиях определяется из выражений:

ленточных

$$\frac{K_n K_h \sigma_0 (b_n + l)}{K_\phi b_n} \leq R_c^m; \quad (39)$$

столбчатых

$$\frac{K_n K_h \sigma_0 (b_n + l)(l_n + l_{np})}{K_\phi b_n l_n} \leq R_c^m; \quad (40)$$

4.4.5 Расчет усилий в крепи выработок от воздействия сейсмовзрывных волн

4.4.5.1 Изгибающий момент M , МПа • см³ (кгс • см), в монолитной бетонной и железобетонной крепи сводчатого очертания поперечного сечения в выработках, пройденных в скальных и полускальных породах, определяется по формуле:

$$M = -P_{ekb}^c \frac{r_0^2}{K_{p,o} \mu_1} \left[\frac{\mu_2}{12(1+\mu_2)} + \frac{1-\nu}{4} (K_k - 1 - \xi) \right], \quad (41)$$

где P_{ekb}^c — эквивалентная статическая нагрузка, МПа (кгс/см²), определяемая по формулам:

$$P_{ekb}^c = (1,1\sigma_b + \sigma_{cz})(\cos^2 \alpha + \xi \sin^2 \alpha) + \sigma_{cx} (\sin^2 \alpha + \xi \cos^2 \alpha) + \xi(1,1\sigma_b + \sigma_{cz} + \sigma_{cx}); \quad (42)$$

$$P_{ekb}^c = (1,1\sigma_b + \sigma_{cz})(\cos^2 \alpha + \xi \sin^2 \alpha) + \sigma_{cx} (1 + \xi) + \xi(1,1\sigma_b + \sigma_{cz}); \quad (43)$$

r_o — приведенный радиус выработки, равный 0,16 периметра поперечного сечения выработки, см;

$K_{р.о}$ — коэффициент, учитывающий влияние реактивного отпора крепи на перемещение контура выработки, принимаемый по таблице 5;

μ_1, μ_2 — коэффициенты, учитывающие жесткость крепи соответственно при изгибе и сжатии;

K_k — суммарный коэффициент концентрации напряжений на контуре выработки, определяемый по формулам:

$$K_k = K_p (\cos^2 \beta + \xi \sin^2 \beta) + \xi K_q, \quad (44)$$

$$\begin{aligned} K_k = & K_p (\cos^2 \beta + \xi \sin^2 \beta) + K_q (\sin^2 \beta + \\ & + \xi \cos^2 \beta) + K_{pq} (1 - \xi) \cos \beta \sin \beta \end{aligned} \quad (45)$$

где β — угол, град, учитывающий направление действия нагрузок, равный:

$$\beta = \arctg \frac{\sigma_{cz}}{1,1 \sigma_b + \sigma_{cx}} \quad (46)$$

K_{pq} — коэффициент концентрации сдвиговых напряжений, определяемый по приложению Б.

Если не соблюдается условие (7) разд. 5, в расчет принимать $P_{экв}^c$ по формуле (39) и коэффициент K_k по формуле (41), если не соблюдается условие (8) разд. 5 — $P_{экв}^c$ по формуле (40) и K_k по формуле (42).

Таблица 5 - Коэффициент, учитывающий влияние реактивного отпора крепи на перемещение контура выработки

Еп/Еб	0,5	1,0	1,5	2 и более
Кр.о	1,6	1,3	1,2	1,0

Еп, Еб — модули упругости соответственно породы и бетона, МПа (kgs/cm^2).

Коэффициенты μ_1 и μ_2 определяются по формулам:

$$\mu_1 = \frac{E_n r_0^4}{K_{d\phi} E_b d_k^3 r_v \eta_1 (1 + v)}; \quad (47)$$

$$\mu_2 = \frac{E_n r_0^2}{K_{d\phi} E_b d_k r_v \eta_2 (1 + v)}; \quad (48)$$

где $K_{\text{дф}}$ — коэффициент, учитывающий нелинейные деформативные свойства бетона, принимаемый по таблице 6;

d_k — толщина крепи, см;

r_b — радиус круга, равновеликого по площади поперечному сечению выработки, см;

η_1, η_2 — коэффициенты, учитывающие влияние арматуры на жесткость крепи, определяемые по формулам:

$$\eta_1 = 1 + \frac{24 E_a l_o^2 F_a}{K_{\text{дф}} E_b d_k^3} \quad (49)$$

$$\eta_2 = 1 + \frac{E_a^2 F_a}{E_b d_k} \quad (50)$$

где E_a — модуль упругости арматуры, принимаемый по справочным данным, МПа (kgs/cm^2);

l_o — расстояние от нейтральной оси крепи до центра тяжести продольной арматуры, см;

F_a — площадь поперечного сечения арматуры, cm^2 .

Таблица 6 - Коэффициент, учитывающий нелинейные деформативные свойства бетона

$P_{\text{экв}}^c / 10^{-4} E_{\text{пп}}$	1	3	5	7 и более
$K_{\text{дф}}$	0,9	0,8	0,7	0,5

4.4.5.2 Продольная сила N , МПа • cm^2 (kgs), в своде монолитной бетонной и железобетонной крепи в выработках, пройденных в скальных и полускальных породах, определяется по формуле:

$$N = P_{\text{экв}}^c \frac{r_o}{K_{\text{p.o}}} \left[\left(\frac{1}{1-\mu_2} + \frac{1-\nu}{4\mu_1} \right) (K_{\text{к}} - 1 - \xi) \right] \quad (51)$$

Продольную силу в стенке следует принимать равной продольной силе в своде, умноженной на $\sin\phi_{\text{пп}}$ ($\phi_{\text{пп}}$ — угол наклона сечения пяты свода относительно вертикальной оси выработки, град).

4.4.5.3 Крепь выработок, расположенных в мягких грунтах, должны проверять на действие нагрузок — статической и от волны сжатия. Вертикальную эквивалентную статическую нагрузку от волны сжатия $P'_{\text{экв}}$ МПа (kgs/cm^2), следует определять по формуле:

$$P_{\text{экв}} = \sigma_b K_o, \quad (52)$$

где K_o — коэффициент, учитывающий увеличение давления за счет отражения на границе мягких грунтов и крепи, принимаемый по таблице 7.

Таблица 7 - Коэффициент, учитывающий увеличение давления за счет отражения на границе мягких грунтов и крепи

$\frac{A_{\text{гр}}}{A_{\text{кр}}}$	0,1	0,4	0,6	0,8	1,0
K_o	1,8	1,4	1,25	1,1	1,0

В таблице 7 $A_{\text{гр}}$ и $A_{\text{кр}}$ — акустическое сопротивление соответственно мягкого грунта и крепи принимаются по справочным данным.

Усилия в крепи выработок, расположенных в мягких грунтах, определяются по методикам строительной механики.

4.4.6 Проверка подтока воздуха в тамбурах-шлюзах и расхода воздуха в вентилируемом тамбурах-шлюзе

4.4.6.1 Количество воздуха, которое необходимо подавать в убежище при фильтровентиляции для поддержания допустимых параметров воздушной среды, следует принимать из расчета $1 \text{ м}^3 / (\text{ч-чел.})$.

4.4.6.2 Количество воздуха, подаваемого в убежище в режиме фильтровентиляции, $Q_{\text{ф.в.}}, \text{ м}^3 / \text{ч}$, необходимо проверять по условию поддержания подпора воздуха в тамбурах-шлюзах (тамбурах) величиной 2 даПа (мм вод. ст.) и расходу воздуха в вентилируемом тамбурах-шлюзе из выражения:

$$Q_{\text{ф.в.}} \geq n_t + Q_t, \quad (53)$$

где n_t — число тамбуров-шлюзов (тамбуров), в которых предусматривается одновременное поддержание подпора воздуха (вход с двойным шлюзованием принимается за один тамбур-шлюз);

Q_t — расход воздуха в вентилируемом тамбурах-шлюзе, принимаемый равным 25-кратному объему тамбура-шлюза, $\text{м}^3 / \text{ч}$.

4.4.6.3 Расчетное количество воздуха $Qn, \text{ м}^3 / \text{ч}$, которое необходимо подавать в однокамерный тамбур-шлюз (тамбур, шлюзовую камеру) для поддержания подпора, определяется по формуле:

$$Q_n = 200 + 150(2 + h_e)^{0.5}, \quad (54)$$

где h_e — максимальное давление (депрессия) естественной тяги воздуха на горизонте убежища, даПа (мм вод. ст.).

5 ИНЖЕНЕРНО-ТЕХНИЧЕСКОЕ ОБОРУДОВАНИЕ

5.1 Для создания необходимых условий в защитных сооружениях предусматривается инженерно-техническое оборудование, обеспечивающее необходимые условия пребывания в них укрываемых.

5.2 Параметры микроклимата и газового состава воздушной среды в защитных сооружениях принимаются в соответствии с требованиями СНиП РК 2.04-09.

5.3 В системах санитарно-технических устройств защитных сооружений применяется стандартное оборудование, а также оборудование, установленное по условиям производственной деятельности объекта.

Проходы и зазоры между элементами оборудования, а также между оборудованием и конструктивными элементами выработок следует принимать в соответствии с требованиями СНиП РК 2.04-09.

Вентиляция убежищ

5.4 Система вентиляции убежищ проектируется на два режима-чистой вентиляции и фильтровентиляции.

Принципиальная схема вентиляции убежища приведена на Рисунке 1.

5.5 Чистая вентиляция предусматривается для обеспечения требуемого состава воздуха и удаления теплоизбыток.

В тех случаях, когда воздухозаборы располагаются на расстоянии до 50 м от выхода на поверхность, подаваемый в убежище воздух в режиме чистой вентиляции должен быть очищен от пыли путем применения противопыльных фильтров.

Для очистки подаваемого воздуха от газообразных средств массового поражения и поддержания в убежище допустимых параметров воздушной среды предусматривается фильтровентиляция.

5.6 Норму воздуха при чистой вентиляции следует принимать по таблице 8.

Таблица 8 - Нормы воздуха при чистой вентиляции

Температура воздуха в приспособляемой выработке в летнее время года при нормальной (промышленной) вентиляции t_B , °C	Норма воздуха при чистой вентиляции, $m^3/(ч\cdot\text{чел.})$
до 10	2
св. 10 до 15	3
„ 15 „ 20	5
„ 20 „ 23	7
„ 23 „ 27	10

5.7 При фильтровентиляции, для поддержания допустимых параметров воздушной среды, количество воздуха, которое необходимо подавать в убежище принимается из расчета $1 m^3/(ч\cdot\text{чел.})$

5.8 Количество воздуха, подаваемого в убежище в режиме фильтровентиляции, $Q_{\Phi.B.}$, м³/ч, необходимо проверять по условию поддержания подпора воздуха в тамбурах-шлюзах (тамбурах) величиной 2даПа (мм вод. ст.) и расходу воздуха в вентилируемом тамбуре-шлюзе из выражения

$$Q_{\Phi.B.} \geq 200 n_t + Q_T, \quad (55)$$

где n_t - число тамбуров-шлюзов (тамбуров), в которых предусматривается одновременное поддержание подпора воздуха (вход с двойным шлюзованием принимается за один тамбур-шлюз);

Q_T - расход воздуха в вентилируемом тамбуре-шлюзе, принимаемый равным 25-кратному объему тамбура-шлюза, м³/ч.

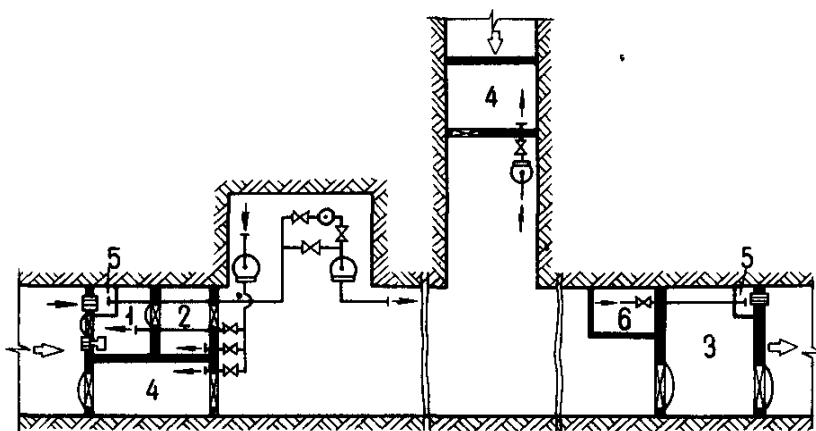


Рисунок 1. Принципиальная схема вентиляции убежища

1 - вентилируемый тамбур-шлюз; 2 - шлюзовая камера; 3 - тамбур-шлюз; 4 - тамбур; 5 - расширительная камера с герметическим ставнем; 6 - санитарный узел.

Условные обозначения:

Ⓐ вентилятор	━ ━ ━ ━ ━	защитное устройство
○ фильтр-поглотитель	━ ━ ━ ━ ━	клапан избыточного давления
► клапан герметический	→	направление движения воздуха
— воздуховод	→	направление действия естественной тяги воздуха
─ ─ ─ ─ ─	─ ─ ─ ─ ─	герметическая дверь (ставень).
─ ─ ─ ─ ─	─ ─ ─ ─ ─	защитно-герметическая дверь

5.9 Расчетное количество воздуха Q_{Π} , м³/ч, которое необходимо подавать в однокамерный тамбур-шлюз (тамбур, шлюзовую камеру) для поддержания подпора, определяется по формуле

$$Q_{\Pi} = 200 + 150 (2 + h_e)^{0,5}, \quad (56)$$

где h_e - максимальное давление (депрессия) естественной тяги воздуха на горизонте убежища, даСа (мм вод. ст.).

5.10 Подпор в тамбурах-шлюзах (тамбурах) и продувку вентилируемых тамбуров-шлюзов следует предусматривать воздухом, забираемым из убежища. При выборе вентиляторов для этой цели необходимо учитывать величину давления и направление действия естественной тяги воздуха.

5.11 Чистая вентиляция убежищ предусматривается за счет действия естественной вентиляции (естественной тяги) или с помощью вентиляторов.

5.12 Естественная вентиляция проектируется в тех случаях, когда в любое время года в приспособляемые выработки поступает необходимое количество воздуха с параметрами согласно СНиП РК 2.04-09.

5.13 В системах принудительной вентиляции следует предусматривать вентиляторы с электроручным приводом при отсутствии в убежище автономного источника электроснабжения и вентиляторы с электрическим приводом в убежище с автономным источником электроснабжения.

5.14 Удаление воздуха из убежища должно осуществляться естественным путем. При соответствующем обосновании для этой цели необходимо использовать вытяжные вентиляторы.

5.15 На воздухозаборах и воздуховыбросах в убежищах при давлении во фронте ударной волны затекания более 0,01 МПа ($0,1 \text{ кгс}/\text{см}^2$) предусматривается установка противовзрывных устройств.

Вентиляция противорадиационных укрытий

5.16 Использование вентиляторов, установленных по условиям промышленной вентиляции предусматривается в вентиляции противорадиационных укрытий, размещаемых в выработках действующих объектов с устойчивым электроснабжением в военное время.

5.17 При отсутствии промышленной вентиляции, а также на объектах с неустойчивым электроснабжением в военное время, предусматривается вентиляция противорадиационных укрытий за счет действия естественной тяги согласно п. 5.12 или путем установки вентиляторов, приводимых в действие вручную или от аккумуляторных батарей.

5.18 Количество воздуха для вентиляции противорадиационных укрытий, в которых предусматривается защита рабочих и служащих работающих смен, следует принимать по табл. 8.

В тех случаях, когда в противорадиационных укрытиях предусматривается защита населения, нормы воздуха следует принимать по таблице 8 с коэффициентом увеличения 1,2.

5.19 Воздухозaborные устройства вентиляционных систем с механическим побуждением располагают, при их размещении в устьях штольневых выработок и наклонных стволов, на высоте не менее 1 м от уровня земли (почвы выработки) и оборудовать козырьками для предотвращения попадания в них радиоактивных осадков.

Водоснабжение и ассенизация

СП РК 2.03-104-2012

5.20 В защитных сооружениях запас питьевой воды в защитных сооружениях предусматривается из расчета 2 л в сутки на одного укрываемого.

Для питьевых целей используется вода, отвечающая по качеству требованиям СНиП РК 2.04-09.

5.21 Емкости с питьевой водой должны быть оборудованы крышками и водоуказателями.

5.22 Для распределения питьевой воды следует предусматривать устройство водоразборных кранов - 1 кран на 300 человек или переносные бачки.

5.23 Санитарные узлы оборудуются ассенизационными вагонетками или резервуарами из расчета приема 2 л фекалий на одного укрываемого в сутки.

Ассенизационные вагонетки должны быть установлены таким образом, чтобы расстояние от верха вагонетки до кровли выработки составляло не менее 1,3 м.

5.24 В защитных сооружениях предусматриваются, для сбора сухих отбросов, закрытые емкости - ящики, бумажные мешки, пакеты из расчета 1 л на одного укрываемого в сутки.

Электроснабжение, освещение и связь

5.25 Электроснабжение защитных сооружений осуществляется от внешней сети.

В необходимых случаях в защитных сооружениях устанавливаются автономные источники электроснабжения - аккумуляторные батареи или дизельные электростанции (ДЭС).

5.26 В убежищах допускается предусматривать установку ДЭС при производительности фильтровентиляционного агрегата более $1200\text{м}^3/\text{ч}$.

На объектах, где для технологических целей применяются аккумуляторные батареи, их использование в защитных сооружениях в качестве автономных источников электроснабжения не ограничивается.

5.27 Электрооборудование, силовые и осветительные установки эксплуатируются в соответствии требованиями правил безопасности для соответствующей отрасли промышленности.

5.28 ДЭС следует проектировать в соответствии с требованиями СНиП РК 2.04-09.

В шахтах (рудниках), опасных по газу, ДЭС должны иметь рудничное взрывобезопасное исполнение. Допускается использовать ДЭС в нормальном (нерудничном) исполнении при условии размещения их на свежей вентиляционной струе и установки аппаратуры непрерывного контроля концентрации метана в помещении ДЭС.

5.29 При размещении ДЭС за пределами убежища ее проектируют защищенной от воздействия поражающих факторов ядерного оружия. Защиту обслуживающего персонала от зараженной атмосферы в этом случае следует предусматривать применением индивидуальных средств с обеспечением возможности перехода в убежище для отдыха.

5.30 Стационарную сеть электроосвещения следует оборудовать в защитных сооружениях с автономным источником электроснабжения, а также на объектах с устойчивым электроснабжением в военное время.

5.31 Нормы освещенности в выработках, используемых под защитные сооружения, принимаются в соответствии с нормами, указанными в таблице 9.

Таблица 9 - Нормы освещенности выработок

Освещаемые участки выработок и помещения	Минимальная освещенность, лк	Поверхности, к которым относятся нормы освещенности
Выработки для размещения укрываемых, входы в убежища, санитарные узлы	2	На почве
Фильтровентиляционные камеры и помещения автономных источников электроснабжения	5	На уровне 0,8 м от почвы
Медицинские пункты	50	То же
Санитарные посты	30	“
Пункты управления объектов	20	“

ПРИМЕЧАНИЕ При питании от аккумуляторных батарей освещенность выработок для размещения укрываемых, входов в убежище, санитарных узлов допускается принимать 0,3 лк.

5.32 В защитных сооружениях, оборудованных стационарным освещением, для обеспечения эвакуации укрываемых при необходимости устраивается резервное освещение переносными светильниками индивидуального пользования из расчета один светильник на 10 укрываемых.

5.33 В защитных сооружениях, где не предусмотрено стационарное освещение, следует использовать переносные светильники индивидуального пользования. Освещенность в этом случае не нормируется.

5.34 В защитных сооружениях оборудуются средства оповещения и связи, входящие в общую систему оповещения и связи объекта.

5.35 Защитные сооружения должны иметь телефонную связь с пунктом управления объекта.

В убежищах предусматривается также внутренняя автономная телефонная связь с фильтро-вентиляционной камерой, защищенными входами, помещениями автономного источника электроснабжения и медицинским пунктом.

6 ПРОТИВОПОЖАРНЫЕ МЕРОПРИЯТИЯ

6.1 Участки выработок, приспособляемые под защитные сооружения, оборудуются средствами пожаротушения из расчета один огнетушитель и ящик с песком емкостью $0,2 \text{ м}^3$ с двумя лопатами на каждые 100 м выработки.

6.2 Крепи подземных камер ДЭС и прилегающих к ним выработок на протяжении 5 м от входа в камеры ДЭС должны быть выполнены из несгораемых материалов.

Склад горюче-смазочных материалов располагает в отдельной секции, отделенной от помещения ДЭС перегородкой из несгораемого материала толщиной не менее 200 мм.

СП РК 2.03-104-2012

6.3 В помещениях ДЭС следует предусматривать средства пожаротушения в соответствии с требованиями СНиП РК 2.04-09.

В местах размещения аккумуляторных батарей устанавливаются огнетушители из расчета два огнетушителя на батарею, а также ящик-с песком емкостью 0,2 м³ и две лопаты.

6.4 В защитных сооружениях предусматривается удаления дыма при пожаре с помощью вытяжной системы вентиляции.

Объем удаляемого воздуха должен составлять не менее четырехкратного.

6.5 На вытяжной системе вентиляции устанавливается герметический клапан с электроприводом, открывание которого должно предусматриваться одновременно с пуском вентилятора.

Одновременно с пуском вентилятора вытяжной системы вентиляции выключаются работающие вентиляторы и закрываются герметические клапаны.

6.6 Наличие системы противопожарного водоснабжения в защитных сооружениях является обязательным условием их функционирования.

ПРИЛОЖЕНИЕ А
(информационное)

**КОЭФФИЦИЕНТЫ ЗАТЕКАНИЯ К_{зат} И ОТРАЖЕНИЯ К_{отр} УДАРНОЙ ВОЛНЫ
ПРИ МЕСТНЫХ ИЗМЕНЕНИЯХ КОНФИГУРАЦИИ И СЕЧЕНИЯ ВЫРАБОТОК**

Таблица А.1

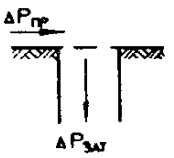
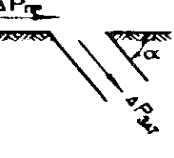
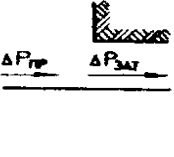
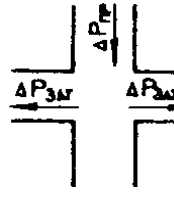
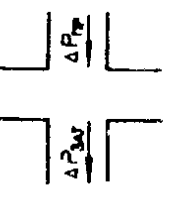
Номер позиции	Условие затекания	Характеристика местных сопротивлений	Кзат при $\frac{\Delta P_{\text{пр}}}{\Delta P_0}$ или Котр									
			1,67	1,00	0,67	0,33	0,17	0,03				
1		W	1,0	—	0,49	0,57	0,68	0,78	0,96			
			0,8	—	0,45	0,55	0,67	0,76	0,95			
			0,6	—	0,36	0,45	0,63	0,75	0,94			
			0,4	—	0,25	0,32	0,47	0,71	0,93			
			0,2	—	0,14	0,18	0,26	0,41	0,86			
			W — отношение свободной от оборудования площади к полной площади сечения выработки									
2		α , град	15	—	0,91	0,93	0,94	0,96	0,99			
			45	—	0,75	0,78	0,84	0,89	0,98			
			90	—	0,49	0,57	0,68	0,78	0,96			
			135	—	0,40	0,48	0,60	0,70	0,94			
			175	—	0,32	0,40	0,50	0,60	0,91			
3		β град	0	—	1,47	1,53	1,66	1,75	1,95			
			90	—	0,49	0,57	0,68	0,78	0,96			
β — угол между направлением распространения ударной волны и продольной осью штольни												
4		ε	1,0	0,20	0,20	0,23	0,27	0,30	0,37			
			0,8	0,20	0,24	0,27	0,32	0,36	0,46			
			0,6	0,23	0,28	0,31	0,37	0,41	0,55			
			0,4	0,30	0,34	0,38	0,45	0,52	0,67			
			0,2	0,37	0,43	0,47	0,56	0,67	0,80			
			ε — отношение площади поперечного сечения выработки, в которой затекает ударная волна, к площади поперечного сечения выработки, из которой затекает ударная волна									
5			Кзат определяют по таблице									
			<table border="1"> <tr> <td>ε</td><td>1,0</td><td>0,8</td><td>0,6</td><td>0,4</td><td>0,2</td></tr> <tr> <td>Кзат</td><td>0,60</td><td>0,68</td><td>0,76</td><td>0,83</td><td>0,92</td></tr> </table>	ε	1,0	0,8	0,6	0,4	0,2	Кзат	0,60	0,68
ε	1,0	0,8	0,6	0,4	0,2							
Кзат	0,60	0,68	0,76	0,83	0,92							

Таблица А.1 (продолжение)

Номер позиции	Условие затекания	Характеристика местных сопротивлений	Кзат при $\frac{\Delta P_{\text{пр}}}{\Delta P_0}$ или Котр						
			1,67	1,00	0,67	0,33	0,17	0,03	
6		ε	0,2	1,18	1,18	1,23	1,34	1,39	1,54
			0,4	0,90	0,90	0,94	1,00	1,08	1,20
			0,6	0,78	0,79	0,81	0,85	0,90	0,98
			0,8	0,65	0,65	0,67	0,69	0,73	0,77
			1,0	0,51	0,51	0,53	0,54	0,56	0,60
			1,25	0,48	0,48	0,48	0,49	0,51	0,58
			1,67	0,39	0,39	0,39	0,40	0,44	0,53
			2,5	0,30	0,30	0,30	0,30	0,31	0,40
			5,0	0,16	0,16	0,16	0,16	0,19	0,24
7		ε	0,2	1,20	1,24	1,30	1,42	1,51	1,69
			0,4	1,15	1,17	1,22	1,30	1,37	1,47
			0,6	1,10	1,12	1,14	1,18	1,22	1,30
			0,8	1,06	1,06	1,07	1,08	1,10	1,14
			1,0	1,00	1,00	1,00	1,00	1,00	1,00
8		ε	1,0	1,00	1,00	1,00	1,00	1,00	1,00
			1,25	0,88	0,88	0,88	0,88	0,91	0,96
			1,67	0,70	0,70	0,70	0,71	0,79	0,88
			2,5	0,52	0,52	0,52	0,52	0,60	0,70
			5,0	0,30	0,30	0,30	0,30	0,37	0,48
9		ε	0,2	1,25	1,33	1,40	1,50	1,55	1,69
			0,4	1,15	1,18	1,23	1,34	1,39	1,50
			0,6	1,00	1,03	1,10	1,17	1,20	1,30
			0,8	0,86	0,90	0,94	1,00	1,08	1,18
			1,0	0,75	0,80	0,85	0,90	0,97	1,04
			1,25	0,68	0,70	0,72	0,75	0,80	0,85
			1,67	0,57	0,57	0,58	0,60	0,62	0,69
			2,5	0,48	0,48	0,48	0,49	0,51	0,58
			5,0	0,30	0,30	0,30	0,30	0,37	0,43
			Давление $\Delta P_{\text{зат1}}$ определяют по формуле $\Delta P_{\text{зат1}} = \Delta P_{\text{зат}}^0 - (\Delta P_{\text{зат}}^0 - \Delta P_{\text{зат}}^1) \varepsilon'$, где $\Delta P_{\text{зат}}^0$ - принимают по $\Delta P_{\text{зат}}$ в поз. 2 в зависимости от α ; $\Delta P_{\text{зат}}^1 = K_{\text{зат}} \Delta P_{\text{пр}}$ где $K_{\text{зат}}$ принимают по таблице						

Таблица А.1 (*продолжение*)

Номер позиции	Условие затекания	Характеристика местных сопротивлений	Кзат при $\frac{\Delta P_{np}}{\Delta P_0}$ или Котр					
			1,67	1,00	0,67	0,33	0,17	0,03
10		α , град	Кзат при $\frac{\Delta P_{np}}{\Delta P_0}$					
			1,67	1,00	0,67	0,33	0,17	0,03
		45	0,35	0,40	0,42	0,45	0,46	0,47
		90	0,25	0,30	0,35	0,40	0,44	0,47
		135	0,22	0,25	0,30	0,37	0,42	0,46
		175	0,19	0,22	0,27	0,34	0,40	0,46
		Давление ΔP_{zat2} определяют по формуле						
		$\Delta P_{zat2} = \Delta P_{np} (1 - 0,3\psi \varepsilon)$						
		, Коэффициент ψ принимают по таблице						
		α , град	45	90	135	175		
		ψ	1	0,68	0,55	0,40		
11		w	Кзат при $\frac{\Delta P_{np}}{\Delta P_0}$					
			1,67	1,00	0,67	0,33	0,17	0,03
		1,0	1,0	1,0	1,0	1,0	1,0	1,0
		0,8	0,92	0,92	0,92	0,95	0,98	1,0
		0,6	0,69	0,79	0,79	0,88	0,95	0,99
		0,4	0,60	0,60	0,60	0,70	0,85	0,98
		0,2	0,35	0,35	0,35	0,42	0,53	0,76
		w	Кзат при $\frac{\Delta P_{np}}{\Delta P_0}$					
			1,67	1,00	0,67	0,33	0,17	0,03
		1,0	1,0	1,0	1,0	1,0	1,0	1,0
		0,8	2,10	1,70	1,58	1,35	1,25	1,14
		0,6	2,80	2,30	2,00	1,70	1,50	1,34
		0,4	3,40	2,50	2,40	2,00	1,80	1,62
		0,2	4,00	3,30	2,90	2,40	2,10	1,75

ПРИЛОЖЕНИЕ Б
(информационное)

КОЭФФИЦИЕНТЫ КОНЦЕНТРАЦИИ ТАНГЕНЦИАЛЬНЫХ И СДВИГОВЫХ НАПРЯЖЕНИЙ НА КОНТУРЕ ВЫРАБОТОК РАЗЛИЧНОГО ОЧЕРТАНИЯ

Таблица Б.1

форма сечения выработки	$\frac{B}{h_v}$	Номер точек	Коэффициенты концентрации тангенциальных и сдвиговых напряжений			форма сечения выработки	$\frac{B}{h_v}$	Номер точек	Коэффициенты концентрации тангенциальных и сдвиговых напряжений				
			K_p	K_q	k_{pq}				K_p	K_q	k_{pq}		
круглая	1,0	1	-1,0	+3,0	0	прямоугольно-сводчатая с трехцентровым (коробовым) сводом	1,0	1	-0,1	+2,8	0		
		2	0	+2,0	+3,5			2	-0,3	+2,2	+2,8		
		3	+2,0	0	+3,5			3	+2,5	-0,7	+2,0		
		4	+3,0	-1,0	0			1	-1,0	+2,5	0		
		прямоугольно-сводчатая с одноцентровым (коробовым) сводом	1,4	2	-0,3	+2,0	+2,7	2	+2,7	-0,9	+1,4		
				3	+2,7								
прямоугольная	1,0	1	-0,9	+1,7	0	прямоугольно-сводчатая с одноцентровым (коробовым) сводом	1,0	1	-0,9	+3,1	0		
		2	+1,7	-0,9	0			2	+1,0	+1,1	+4,3		
		1	-0,9	+1,4	0			3	+2,2	-0,9	+1,0		
		2	+2,1	-0,9	0			1	-0,9	+2,8	0		
		1	-0,9	+1,3	0			2	+0,8	+1,2	+4,0		
		2	+2,4	-0,9	0			3	+2,6	-1,0	+0,4		

ПРИЛОЖЕНИЕ В
(информационное)

**ЗНАЧЕНИЯ РАСЧЕТНЫХ СОПРОТИВЛЕНИЙ ПОРОД РАСТЯЖЕНИЮ
И СРЕЗУ В ЗАВИСИМОСТИ ОТ ИХ РАСЧЕТНОГО СОПРОТИВЛЕНИЯ**

СЖАТИЮ

Таблица В.1

Горные породы	Расчетное сопротивление сжатию R^m_c , МПа	Расчетное сопротивление, МПа		Горные породы	Расчетное сопротивление сжатию R^m_c , МПа	Расчетное сопротивление, МПа	
		растяжению R^m_p	срезу			растяжению R^m_p	срезу R^m_{cp}
Изверженные и метаморфические породы	20-200	0,8-8,0	4,0-40,0	Песчаники.			
				при наличии угля-	40-100	1,8-3,0	1,6-10,0
Аргиллиты при наличии зеркал скольжения с углистыми прослойями				ных прослоев	80-200	2,4-20,0	2,4-16,0
	10-30	0,5-1,0	0,6-3,6	с растительными остатками на плос-	50-100	4,0	4,0-20,0
				костях ослабления	100-200	4,0	6,0-30,0
	10-30	1,4-3,0	1,8-10,8	с мелким расти-	50-120	6,0-7,2	5,0-32,4
Алевролиты при наличии зеркал скольжения и углистых прослоев с растительными остатками на плоскостях ослабления с мелким растительным детритом на плоскостях ослабления				тельным детритом	100-200	6,0	10,0-50,0
	15-50	0,3-1,0	1,0-6,0	на плоскостях ос-			
				лабления			
				Гипсы	10-40	1,5-4,0	2,0-8,0
	20-50	2,0-3,5	3,5-17,0	Ангидрит	30-60	1,8-3,6	4,0-15,5
				Соляные породы	10-40	0,8-3,2	1,5-12,0
				Каменная соль	20-40	0,8-1,6	3,0-12,0
				Пильные известняки	2-8	0,3-1,2	0,5-4,0
	20-50	4,0-6,0	5,5-27,0	Примечание. Для промежуточных значений R^m_c величины			
				R^m_p и R^m_{cp} определяются по интерполяции.			

ПРИЛОЖЕНИЕ Г
(информационное)

**ЗНАЧЕНИЯ КОЭФФИЦИЕНТОВ НЕСУЩЕЙ СПОСОБНОСТИ ПОТОЛОЧИНЫ
КАМЕР И МЕЖДУКАМЕРНЫХ ЦЕЛИКОВ**

Таблица Г.1

Горные породы	К _{кр}	К _ц	Горные породы	К _{кр}	К _ц
Изверженные и метаморфические			Кристаллические известняки	1,0	1,4
средненарушенные при расстоянии между трещинами от 0,5 до 1 м	2,0	2.1	Угольных месторождений	2,8	1.8
слабонарушенные при расстоянии между трещинами св. 1 м	1,6	2,3	Многолетнемерзлые	1,0	1.0
Гипсы	1,4	2,3	Горючие сланцы	1,8	1.4
			Соляные	1.4	1,6
			Каменная соль	4,0	3,0
			Пильные известняки (ракушечники)	1,0	3,0

БИБЛИОГРАФИЯ

- [1] СНиП 11-11-77 Защитные сооружения гражданской обороны.
- [2] СНиП II-94-80 Подземные горные выработки.

УДК 614.8

МКС 73.020

Ключевые слова: защитные сооружения гражданской обороны, подземные горные выработки, подземные вентиляционные сооружения

Ресми басылым

ҚАЗАҚСТАН РЕСПУБЛИКАСЫ ҰЛТТЫҚ ЭКОНОМИКА МИНИСТРЛІГІНІҢ
ҚҰРЫЛЫС, ТҮРФЫН ҮЙ-КОММУНАЛДЫҚ ШАРУАШЫЛЫҚ ИСТЕРІ ЖӘНЕ
ЖЕР РЕСУРСТАРЫН БАСҚАРУ КОМИТЕТИ

**Қазақстан Республикасының
ЕРЕЖЕЛЕР ЖИНАҒЫ**

ҚР ЕЖ 2.03-104-2012

**АЗАМАТТЫҚ ҚОРҒАНЫСТЫҢ ЖЕРАСТЫ ТАУЛЫ ӨНДЕМЕЛЕРДЕГІ
ҚОРҒАНЫС ИМАРАТТАРЫ**

Басылымға жауаптылар: «ҚазКСФЗИ» АҚ

050046, Алматы қаласы, Солодовников көшесі, 21
Тел./факс: +7 (727) 392-76-16 – қабылдау бөлмесі

Издание официальное

КОМИТЕТ ПО ДЕЛАМ СТРОИТЕЛЬСТВА, ЖИЛИЩНО-КОММУНАЛЬНОГО
ХОЗЯЙСТВА И УПРАВЛЕНИЯ ЗЕМЕЛЬНЫМИ РЕСУРСАМИ МИНИСТЕРСТВА
НАЦИОНАЛЬНОЙ ЭКОНОМИКИ РЕСПУБЛИКИ КАЗАХСТАН

**СВОД ПРАВИЛ
Республики Казахстан**

СП РК 2.03-104-2012

**ЗАЩИТНЫЕ СООРУЖЕНИЯ ГРАЖДАНСКОЙ ОБОРОНЫ В ПОДЗЕМНЫХ
ГОРНЫХ ВЫРАБОТКАХ**

Ответственные за выпуск: АО «КазНИИСА»

050046, г. Алматы, ул. Солодовникова, 21
Тел./факс: +7 (727) 392-76-16 – приемная